

ระบบควบคุมอากาศยานด้วยคอมพิวเตอร์
AIRCRAFT CONTROL SYSTEM BY COMPUTER



คณินท์ สิทธิพงศ์พิทยา
อภิสิทธิ์ วชิรจิรากร

ปริญญาานิพนธ์นี้เป็นส่วนหนึ่งของการศึกษาตามหลักสูตรปริญญาวิศวกรรมศาสตรบัณฑิต
สาขาวิชาวิศวกรรมแมคคาทรอนิกส์
คณะวิศวกรรมศาสตร์
สถาบันเทคโนโลยีพระจอมเกล้าเจ้าคุณทหารลาดกระบัง
ปีการศึกษา 2557

ระบบควบคุมอากาศยานด้วยคอมพิวเตอร์
AIRCRAFT CONTROL SYSTEM BY COMPUTER



ปริญญานิพนธ์นี้เป็นส่วนหนึ่งของการศึกษาตามหลักสูตรปริญญาวิศวกรรมศาสตรบัณฑิต
เอกสารนี้เป็นเอกสารที่สงวนไว้สำหรับสาขาวิชาวิศวกรรมเมคคาทรอนิกส์อนุญาตให้นำไปใช้ประโยชน์ด้านการค้า
ไม่ว่ากรณีใดๆทั้งสิ้น อีกทั้งห้ามมิให้คัดลอกเผยแพร่ต่อสาธารณชนหรือใช้เพื่อวัตถุประสงค์อื่นใด
สถาบันเทคโนโลยีพระจอมเกล้าเจ้าคุณทหารลาดกระบัง
ปีการศึกษา 2557

AIRCRAFT CONTROL SYSTEM BY COMPUTER



THE THESIS IS SUBMITTED IN PARTIAL FULFILLMENT
OF THE REQUIREMENTS FOR THE DEGREE OF

BACHELOR OF ENGINEERING IN MECHATRONICS ENGINEERING
FACULTY OF ENGINEERING

KING MONGKUT'S INSTITUTE OF TECHNOLOGY LADKRABANG

ACADEMIC YEAR 2014

เอกสารนี้เป็นเอกสารที่สงวนไว้สำหรับการใช้งานเพื่อการศึกษาเท่านั้น ไม่อนุญาตให้นำไปใช้ประโยชน์ด้านการค้า
ไม่ว่ากรณีใดๆทั้งสิ้น หากมีข้อสงสัยให้ติดต่อโครงการนี้ และต้องอ้างอิงถึงเจ้าของเอกสารทุกครั้งที่มีการนำไปใช้

ปริญญาานิพนธ์ปีการศึกษา 2557

ภาควิชาวิศวกรรมการวัดและควบคุม คณะวิศวกรรมศาสตร์

สถาบันเทคโนโลยีพระจอมเกล้าเจ้าคุณทหารลาดกระบัง

เรื่อง ระบบควบคุมอากาศยานด้วยคอมพิวเตอร์

AIRCRAFT CONTROL SYSTEM BY COMPUTER

ผู้จัดทำ

นายคณนันทน์ สิทธิพงษ์พิทยา 54010148

นายอภิสิทธิ์ วชิรจิรากร 54011502

.....อาจารย์ที่ปรึกษา

(ผู้ช่วยศาสตราจารย์สุมิตร พนาอุดมทรัพย์)

.....อาจารย์ที่ปรึกษา

(รองศาสตราจารย์ ดร.เกียรติศักดิ์ คมวัชรระ)

เอกสารนี้เป็นเอกสารที่สงวนไว้สำหรับการใช้งานเพื่อการศึกษาเท่านั้น ไม่อนุญาตให้นำไปใช้ประโยชน์ด้านการค้า
ไม่ว่ากรณีใดๆทั้งสิ้น อีกทั้งห้ามมิให้ตัดแปลงเนื้อหา และต้องอ้างอิงถึงเจ้าของเอกสารทุกครั้งที่มีการนำไปใช้

ระบบควบคุมอากาศยานด้วยคอมพิวเตอร์

โดย

นายคณนันทน์ สิทธิพงษ์พิทยา 54010148

นายอภิสิทธิ์ วชิรจิรากร 54011502

อาจารย์ที่ปรึกษา

ผู้ช่วยศาสตราจารย์สุมิตร พนาอุดมทรัพย์

รองศาสตราจารย์ ดร.เกียรติศักดิ์ คมวัชระ

ปีการศึกษา 2557

บทคัดย่อ

ปริญญานิพนธ์ฉบับนี้เป็นการนำเสนอการออกแบบระบบควบคุมอากาศยานด้วยคอมพิวเตอร์ ซึ่งในปัจจุบันได้มีการเดินทางหรือการขนส่งด้วยอากาศยานกันเป็นจำนวนมากที่ต้องอาศัยความชำนาญ รวมถึงในกรณีนักบินไม่อยู่ในสภาพที่จะบังคับอากาศยานได้ เราจึงได้นำระบบควบคุมด้วยคำสั่งทางคอมพิวเตอร์มาใช้ควบคุม เพื่อให้การควบคุมอากาศยานมีประสิทธิภาพความแม่นยำและมีความถูกต้องมากยิ่งขึ้น โดยผู้ควบคุมสามารถควบคุมตัวอากาศยานผ่านคอมพิวเตอร์จากสถานที่ไหนก็ได้ ทำให้เกิดความปลอดภัยมากยิ่งขึ้นได้

ในการทดลองเราได้เริ่มจากการเลือกอากาศยานที่จะใช้ทำการทดลอง ศึกษาการทำงานของตัวอากาศยานหรือ Quadrotor การออกแบบระบบที่ใช้ในการควบคุม เลือกไมโครคอนโทรลเลอร์ที่เหมาะสม เพื่อให้ระบบสามารถทำงานได้อย่างถูกต้องและมีประสิทธิภาพ ทำการค้นคว้าก่อนปฏิบัติ และทำการทดสอบเพื่อทำการบันทึกผล และสรุปผล

เอกสารนี้เป็นเอกสารที่สงวนไว้สำหรับการใช้งานเพื่อการศึกษาเท่านั้น ไม่อนุญาตให้นำไปใช้ประโยชน์ด้านการค้าไม่ว่ากรณีใดๆทั้งสิ้น อีกทั้งห้ามมิให้ตัดแปลงเนื้อหา และต้องอ้างอิงถึงเจ้าของเอกสารทุกครั้งที่มีการนำไปใช้

AIRCRAFT CONTROL SYSTEM BY COMPUTER

By

Mr.Kananan Sittipongpitaya 54010148

Mr.Apisit Washirajirakorn 54011502

Advisor

Asst.Prof.Sumit Panaudomsup

Assoc.Prof.Dr.Kiattisak Kumwachara

Academic Year 2014

ABSTRACT

This project presents The Aircraft Control System by Computer is being conducted by the presentations is creating of the aircraft control system by computer. Currently, To travel or airlift that requires a lot of expertise. Including the pilot was not controlling of the aircraft. We have the computer control used to the aircraft control effectively, Precision and accuracy. The operator can control the aircraft by computer from anywhere.

In our experiment, we began with the selection of the sample aircraft, followed by the detailed study and research into the function of the aircraft - the quadrotor. when designing the control system, we chose an appropriate microcontroller for the system to work correctly and efficiently. Researched and tested before practice to record the results and conclusions.

เอกสารนี้เป็นเอกสารที่สงวนไว้สำหรับการใช้งานเพื่อการศึกษาเท่านั้น ไม่อนุญาตให้นำไปใช้ประโยชน์ด้านการค้า
ไม่ว่ากรณีใดๆทั้งสิ้น อีกทั้งห้ามมิให้ตัดแปลงเนื้อหา และต้องอ้างอิงถึงเจ้าของเอกสารทุกครั้งที่มีการนำไปใช้

กิตติกรรมประกาศ

การจัดทำปฏิญานิพนธ์ฉบับนี้ สามารถสำเร็จลุล่วงไปได้ด้วยดี เพราะได้รับความช่วยเหลือเป็นอย่างดี จาก ผู้ช่วยศาสตราจารย์สุมิตร พนาอุดมทรัพย์ และรองศาสตราจารย์.ดร.เกียรติศักดิ์ คมวัชระ ที่ได้ให้คำปรึกษาแนะนำที่ดีมาโดยตลอดตั้งแต่ต้น กลุ่มผู้จัดทำขอขอบพระคุณผู้ช่วยศาสตราจารย์สุมิตร พนาอุดมทรัพย์ และรองศาสตราจารย์.ดร.เกียรติศักดิ์ คมวัชระ เป็นอย่างสูง

ขอบคุณเพื่อนๆ ทุกคนที่ให้กำลังใจ สนับสนุนอุปกรณ์ที่ขาดเหลือ และการทำงานกันเป็นทีม กระตุนเตือน รวมทั้งคอยถามไถ่ความคืบหน้าของโครงการเสมอ

สุดท้ายนี้ผู้จัดทำขอกราบขอบพระคุณบิดา มารดา และครอบครัว ที่คอยเป็นกำลังใจที่ดี ตลอดมารวมถึงการสนับสนุนในเรื่องของงบประมาณที่ขาดเหลือ ตลอดจนเป็นแรงบันดาลใจที่ดีที่สุดที่ทำให้โครงการนี้สำเร็จสมบูรณ์ลงได้

ผู้จัดทำ

นายคณนันท

นายอภิสิทธิ์

สิทธิพงศ์พิทยา

วชิรจิรากร



เอกสารนี้เป็นเอกสารที่สงวนไว้สำหรับการใช้งานเพื่อการศึกษาเท่านั้น ไม่อนุญาตให้นำไปใช้ประโยชน์ด้านการค้า ไม่ว่าจะกรณีใดๆทั้งสิ้น อีกทั้งห้ามมิให้ตัดแปลงเนื้อหา และต้องอ้างอิงถึงเจ้าของเอกสารทุกครั้งที่มีการนำไปใช้

สารบัญ

	หน้า
บทคัดย่อ	I
บทคัดย่อภาษาอังกฤษ	II
กิตติกรรมประกาศ	III
สารบัญ	IV
สารบัญรูป	VI
สารบัญตาราง	VIII
บทที่ 1 บทนำ	1
1.1 ความสำคัญและที่มาของโครงการ	1
1.2 วัตถุประสงค์ของโครงการ	1
1.3 ขั้นตอนการดำเนินโครงการ	1
1.4 กรอบแนวคิดในการศึกษาโครงการ	2
1.5 ประโยชน์ที่คาดว่าจะได้รับ	2
บทที่ 2 อุปกรณ์ หลักการและทฤษฎี	3
2.1 ไมโครคอนโทรลเลอร์ Arduino UNO R3	3
2.1.1 Arduino คืออะไร	3
2.1.2 รูปแบบการเขียนโปรแกรมบน Arduino	4
2.1.3 ตัวอย่าง Code ของ Arduino Uno R3	6
2.1.4 Layout & Pin out Arduino Board	6
2.1.5 Arduino Uno3	7
2.2 โมดูลเซนเซอร์ GY-85 IMU/9DOF (ITG3205 ADXL345 HMC5883L)	8
2.2.1 รายละเอียดโมดูลเซนเซอร์ GY-85 IMU/9DOF	8
2.3 เซนเซอร์ Ultrasonic Module HC-SR04 Distance Measuring Transducer Sensor	9
2.4 รีโมทคอนโทรล	9
2.4.1 การใช้งานของรีโมทคอนโทรล	11
2.5 รีซีฟเวอร์ (Receiver)	12
2.6 มอเตอร์กระแสตรงแบบไร้แปรงถ่าน (Brushless DC Motor)	12
2.7 ESC (Electronic Speed Controller)	13
2.8 กล้องเซนเซอร์ติดตามวัตถุ (PIXY CMU Cam5)	14
2.8.1 องค์ประกอบของบอร์ดกล้องเซนเซอร์ติดตามวัตถุ (PIXY CMU Cam5)	15
2.9 USB to UART Cable (PL2303 HX)	15
2.10 แบตเตอรี่ (Lithium Polymer Battery 3000 mAh)	16
2.11 หลักการควบคุมเฮลิคอปเตอร์ 4 ใบพัด	16
2.12 พลศาสตร์การเคลื่อนที่	19

เอกสารนี้เป็นเอกสารที่สงวนไว้สำหรับการใช้งานเพื่อการศึกษาเท่านั้น ไม่อนุญาตให้นำไปใช้ประโยชน์ด้านการค้า
ไม่ว่ากรณีใดๆ ทั้งสิ้น หากผู้ใดนำเอกสารนี้ไปเผยแพร่โดยไม่ได้รับอนุญาตจากเจ้าของเอกสารทุกครั้งที่มีการนำไปใช้

สารบัญ (ต่อ)

	หน้า
2.13 Inertial Measurement Unit (IMU)	20
2.13.1 Gyroscope	21
2.13.2 Accelerometer	21
2.14 ระบบควบคุมพีไอดี	22
บทที่ 3 การออกแบบและควบคุม	30
3.1 การออกแบบระบบควบคุม	30
3.2 การแก้ไขการออกแบบระบบควบคุม (ครั้งที่ 1)	31
3.3 การแก้ไขออกแบบระบบควบคุม (ครั้งที่ 2)	32
3.4 การต่ออุปกรณ์ควบคุมตัว Quadrotor กับบอร์ด Arduino UNO R3	33
3.5 แก้ไขแบบวงจร Quadrotor	34
บทที่ 4 ผลการทดลอง	35
4.1 การควบคุม Servo Motor	35
4.1.1 THROTTLE	37
4.1.2 ROLL	38
4.1.3 PITCH	39
4.1.4 YAW	40
4.2 การควบคุมบัสเลสมอเตอร์	41
4.3 ตรวจสอบค่า Gyro และ Accelerometer และหาค่า Offset เริ่มต้น	41
4.3.1 การทดสอบ Gyro	42
4.3.2 การทดสอบ Accelerometer	42
บทที่ 5 บทสรุปและข้อเสนอแนะ	43
5.1 สรุปผลการทดลอง	43
5.2 ปัญหาที่พบในการทดลอง	43
5.3 ข้อเสนอแนะ	43
เอกสารอ้างอิง	44
ภาคผนวก	45
ภาคผนวก ก	46
ภาคผนวก ข	47
ภาคผนวก ค	48

เอกสารนี้เป็นเอกสารที่สงวนไว้สำหรับการใช้งานเพื่อการศึกษาเท่านั้น ไม่อนุญาตให้นำไปใช้ประโยชน์ด้านการค้า ไม่ว่าจะกรณีใดๆทั้งสิ้น อีกทั้งห้ามมิให้ตัดแปลงเนื้อหา และต้องอ้างอิงถึงเจ้าของเอกสารทุกครั้งที่มีการนำไปใช้

สารบัญรูป

รูปที่		หน้า
2.1	Arduino UNO R3	3
2.2	การเขียนโปรแกรมบน Arduino	4
2.3	การเลือกรุ่นบอร์ด Arduino ที่ต้องการ Upload	4
2.4	การเลือกเลขหมาย Computer ของบอร์ด	5
2.5	การตรวจสอบ และการอัปโหลด	5
2.6	Layout & Pin out Arduino Board	6
2.7	โมดูลเซนเซอร์ GY-85 IMU/9DOF	8
2.8	เซนเซอร์ Ultrasonic Sensor	9
2.9	เซนเซอร์ Ultrasonic Sensor	10
2.10	รีโมทคอนโทรล Radio Link	11
2.11	การใช้รีโมทคอนโทรล	12
2.12	มอเตอร์กระแสตรงแบบไร้แปรงถ่าน (Brushless DC Motor)	13
2.13	ESC (Electronic Speed Controller)	13
2.14	กล้องเซนเซอร์ติดตามวัตถุ (PIXY CMU Cam5)	14
2.15	โปรแกรม Pixymon แสดงภาพในการตรวจจับวัตถุ	14
2.16	องค์ประกอบของกล้องเซนเซอร์ติดตามวัตถุ (PIXY CMU Cam5)	15
2.17	USB to UART Cable (PL2303 HX)	15
2.18	แบตเตอรี่ (Lithium Polymer Battery 3000 mAh)	16
2.19	Quadrotor Body	17
2.20	การลอยตัวนิ่ง (Hovering)	17
2.21	การเร่ง – ลดความเร็วในแนวตั้ง (Throttle)	18
2.22	การเอียงตัวซ้าย-ขวา (Roll)	18
2.23	การเอียงตัวหน้า-หลัง (Pitch)	19
2.24	การหมุนของมอเตอร์	19
2.25	การคำนวณแรงตามแนวแกน X Y และ Z	20
2.26	Mechanic Gyroscope ซึ่งมี Two-degree of Freedom (TDF)	21
2.27	โครงสร้างของ Accelerometer	21
2.28	แผนภาพบล็อกของการควบคุมแบบพีไอดี	22
2.29	กราฟ PV ต่อเวลา, K_p กำหนดเป็น 3 ค่า (K_i และ K_d คงที่)	24
2.30	กราฟ PV ต่อเวลา, K_i กำหนดเป็นสามค่า (K_p และ K_d คงที่)	25
2.31	กราฟ PV ต่อเวลา, สำหรับ K_d 3 ค่า (K_p และ K_i คงที่)	26
3.1	การควบคุมผ่านสาย RS232	30
3.2	การควบคุมผ่านสาย RS232 ไปยัง Quadrotor โดยตรง	31
3.3	แก้ไขการควบคุม Quadrotor	32
3.4	วงจรควบคุมตัว Quadrotor	33

เอกสารนี้เป็นเอกสารที่สงวนไว้สำหรับการใช้งานเพื่อการศึกษาเท่านั้น ไม่อนุญาตให้นำไปใช้ประโยชน์ด้านการค้า
ไม่ว่ากรณีใดๆ ทั้งสิ้น กรุณาแจ้งผู้ดูแลเนื้อหา และต้องอ้างอิงถึงเจ้าของเอกสารทุกครั้งที่มีการนำไปใช้

สารบัญรูป (ต่อ)

รูปที่		หน้า
3.5	วงจรที่ถูกแก้ไข	34
4.1	Servo Motor ที่ใช้ทดสอบ	35
4.2	เมื่อโยก THROTTLE UP	37
4.3	เมื่อโยก THROTTLE DOWN	37
4.4	เมื่อโยก ROLL RIGHT	38
4.5	เมื่อโยก ROLL LEFT	38
4.6	เมื่อโยก PITCH UP	39
4.7	เมื่อโยก PITCH DOWN	39
4.8	เมื่อโยก YAW RIGHT	40
4.9	เมื่อโยก YAW LEFT	40
4.10	การทำงานของบัสเลสมอเตอร์	41
4.11	การทดสอบ Gyro	41
4.12	การทดสอบ Accel	42



เอกสารนี้เป็นเอกสารที่สงวนไว้สำหรับการใช้งานเพื่อการศึกษาเท่านั้น ไม่อนุญาตให้นำไปใช้ประโยชน์ด้านการค้า
ไม่ว่ากรณีใดๆทั้งสิ้น อีกทั้งห้ามมิให้คัดแปลงเนื้อหา และต้องอ้างอิงถึงเจ้าของเอกสารทุกครั้งที่มีการนำไปใช้

สารบัญตาราง

ตารางที่		หน้า
2.1	การปรับจูนด้วยมือ	28
2.2	วิธีการ Zigler – Nichols	29
4.1	ทิศทางหมุนของเซอร์โวตามค่าสัญญาณพัลส์	35
4.2	ค่าสัญญาณพัลส์ที่เปลี่ยนแปลง	36
4.3	ค่าเซนเซอร์ตามการควบคุม	36



เอกสารนี้เป็นเอกสารที่สงวนไว้สำหรับการใช้งานเพื่อการศึกษาเท่านั้น ไม่อนุญาตให้นำไปใช้ประโยชน์ด้านการค้า
ไม่ว่ากรณีใดๆทั้งสิ้น อีกทั้งห้ามมิให้คัดแปลงเนื้อหา และต้องอ้างอิงถึงเจ้าของเอกสารทุกครั้งที่มีการนำไปใช้

บทที่ 1

บทนำ

1.1 ความสำคัญและที่มาของโครงการ

ในปัจจุบันการคมนาคมและการขนส่งต่างๆ สามารถทำได้อย่างรวดเร็ว สะดวก และมีประสิทธิภาพมากขึ้น เนื่องจากได้มีการนำเทคโนโลยีสมัยใหม่มากมายเข้ามาใช้งาน ทำให้การดำเนินงานทำได้ง่ายและมีประสิทธิภาพสูงกว่าในอดีต โดยเฉพาะการคมนาคมทางอากาศ เนื่องจากเป็นวิธีการที่รวดเร็วที่สุดในโลก เพราะไม่ต้องประสบปัญหาการจราจรต่างๆ และมีความปลอดภัยสูง แต่การขนส่งทางอากาศก็ยังคงมีความเสี่ยงอยู่บ้าง เนื่องจากสภาพอากาศหรือปัจจัยต่างๆ อย่างเช่น ในบางพื้นที่ที่การเดินทางเข้าไปด้วยอากาศยานเป็นไปด้วยความลำบากจากหลากหลายสาเหตุ อาทิ เช่น พายุ หรือสภาพอากาศอันเลวร้าย และอาจเกิดอุบัติเหตุได้ ทำให้นักบินและลูกเรือมีโอกาสประสบกับสถานการณ์ที่ก่อให้เกิดอันตรายถึงชีวิต และทรัพย์สิน ในโครงการนี้จึงได้นำระบบควบคุมอากาศยานเข้ามาช่วยในการควบคุม โดยมีจุดประสงค์ที่จะใช้โปรแกรมคอมพิวเตอร์เป็นตัวช่วยในการควบคุมการทำงานแทนมนุษย์ โดยเราใช้ตัวอากาศยานเป็นเฮลิคอปเตอร์ 4 ใบพัด หรือ Quadrotor และใช้บอร์ดไมโครคอนโทรลเลอร์ คือ ArduinoUNOR3 เป็นส่วนของระบบควบคุมโดยรับสัญญาณจากรีโมทคอนโทรลที่ส่งสัญญาณอินพุตให้แก่บอร์ดไมโครคอนโทรลเลอร์ หลังจากนั้นจะเกิดการประมวลผลเป็นคำสั่งโปรแกรมการควบคุมการทำงาน และการเคลื่อนที่เป็นสัญญาณค่าเอาต์พุตไปยังตัว Quadrotor เพื่อทำงานตามคำสั่งที่เราต้องการและยังมีการใช้กล้อง Pixy CMU Cam5 เพื่อทำการตรวจจับวัตถุและสามารถสั่งการให้ Quadrotor เคลื่อนที่ติดตามวัตถุนั้นๆ หรือหลบหลีกวัตถุนั้นๆ ได้ โดยโครงการนี้ถูกจัดทำขึ้นเพื่อเป็นต้นแบบของระบบควบคุมอากาศยานเพื่อใช้ในการศึกษาและต่อยอดต่อไป

1.2 วัตถุประสงค์ของโครงการ

1. ศึกษาการใช้ความรู้และทฤษฎีต่างๆ ทางวิศวกรรมเพื่อการประยุกต์ใช้งาน
2. ศึกษาการทำงานและการประยุกต์ใช้วัสดุและอุปกรณ์ทางอิเล็กทรอนิกส์ และแมคคานิกส์ ในการออกแบบและเลือกใช้ไมโครคอนโทรลเลอร์ที่จะใช้ในการควบคุมระบบได้
3. ศึกษาการออกแบบระบบควบคุมในบอร์ดไมโครคอนโทรลเลอร์และเลือกโปรแกรมที่ใช้ในการเขียนไมโครคอนโทรลเลอร์ได้อย่างเหมาะสม
4. โครงการนี้ถูกจัดทำขึ้นเป็นต้นแบบในการศึกษาของบุคคลทั่วไป

1.3 ขั้นตอนการดำเนินโครงการ

1. ศึกษาและหาข้อมูลความรู้และทฤษฎีต่างๆ จากสื่อต่างๆ อาทิเช่น หนังสือ งานวิจัย และอินเทอร์เน็ต ที่จะใช้สำหรับออกแบบระบบควบคุมอากาศยาน
2. กำหนด วางแผน และออกแบบระบบควบคุมอากาศยาน
3. ทำการเลือกวัสดุและอุปกรณ์ทางอิเล็กทรอนิกส์ และแมคคานิกส์ที่เหมาะสมสำหรับการออกแบบ Quadrotor และการออกแบบระบบควบคุมอากาศยาน
4. ดำเนินงานสร้างชิ้นงานที่ได้ออกแบบไว้

5. ทดสอบระบบที่ได้ออกแบบว่าสามารถปฏิบัติการได้ถูกต้องตามคำสั่งหรือไม่
6. สรุปผลการทดลอง

1.4 กรอบแนวคิดในการศึกษาโครงการงาน

แนวคิดในการศึกษาโครงการงานเรื่องนี้ มาจากการเขียนโค้ดโปรแกรมคำสั่งการควบคุมการทำงานและการเคลื่อนที่ของ Quadrotor โดยส่งอินพุตไปยังบอร์ดไมโครคอนโทรลเลอร์เพื่อการประมวลผลคำสั่ง และคำนวณแปลคำสั่งออกไปเป็นเอาต์พุตไปยัง Quadrotor ที่เราต้องการ และยังได้มีการเพิ่มฟังก์ชันของกล้องเซนเซอร์ Pixy CMU Cam5 เข้ามาเพื่อช่วยในการควบคุมการทำงานในส่วนของการตรวจจับวัตถุ ติดตาม และการหลบหลีกวัตถุที่เราไม่ต้องการได้อย่างมีประสิทธิภาพ

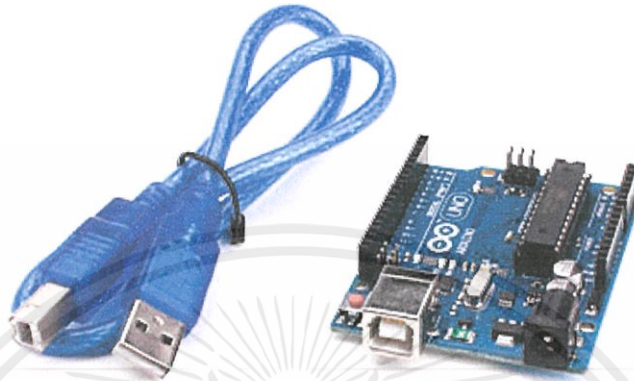
1.5 ประโยชน์ที่คาดว่าจะได้รับ

1. สามารถนำความรู้และทฤษฎีต่างๆ ทางด้านวิศวกรรมมาประยุกต์ใช้งานได้จริง
2. สามารถนำความรู้มาทำการเลือกใช้อุปกรณ์และอุปกรณ์ทางอิเล็กทรอนิกส์ และแมคคานิกส์ เพื่อสร้างวงจรระบบควบคุมอื่นๆ ที่เหมาะสมได้
3. สามารถนำความรู้ทางด้าน การเขียนโปรแกรมภาษาซี และอื่นๆ มาใช้ในการเขียนโปรแกรมในระบบควบคุมอื่นๆ ได้
4. เป็นต้นแบบที่สามารถใช้ต่อยอดในงานอื่นๆ ได้

เอกสารนี้เป็นเอกสารที่สงวนไว้สำหรับการใช้งานเพื่อการศึกษาเท่านั้น ไม่อนุญาตให้นำไปใช้ประโยชน์ด้านการค้า ไม่ว่ากรณีใดๆทั้งสิ้น อีกทั้งห้ามมิให้ตัดแปลงเนื้อหา และต้องอ้างอิงถึงเจ้าของเอกสารทุกครั้งที่มีการนำไปใช้

บทที่ 2 อุปกรณ์ หลักการและทฤษฎี

2.1 ไมโครคอนโทรลเลอร์ Arduino UNO R3



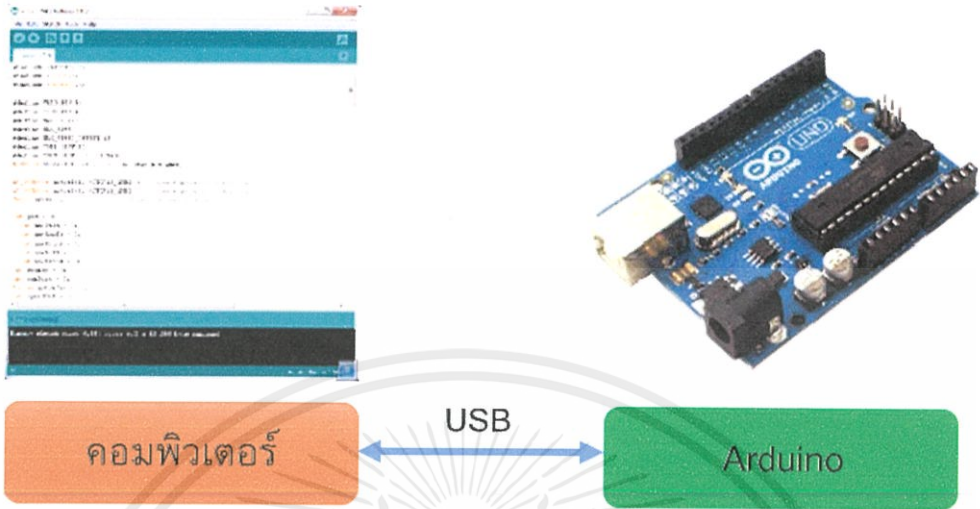
รูปที่ 2.1 Arduino UNO R3

2.1.1 Arduino คืออะไร

Arduino อ่านว่า (อา-ตุ-อิ-โน้ หรือ อาดูยโน้) เป็นบอร์ดไมโครคอนโทรลเลอร์ตระกูล AVR ที่มีการพัฒนาแบบ Open Source คือมีการเปิดเผยข้อมูลทั้งด้าน Hardware และ Software ตัวบอร์ด Arduino ถูกออกแบบมาให้ใช้งานได้ง่าย ดังนั้นจึงเหมาะสำหรับผู้เริ่มต้นศึกษา ทั้งนี้ผู้ใช้งานยังสามารถดัดแปลง เพิ่มเติม พัฒนาต่อยอดทั้งตัวบอร์ด หรือโปรแกรมต่อได้อีกด้วยความง่ายของบอร์ด Arduino ในการต่ออุปกรณ์เสริมต่างๆ คือผู้ใช้งานสามารถต่อวงจรอิเล็กทรอนิกส์จากภายนอกแล้วเชื่อมต่อเข้ามาที่ขา I/O ของบอร์ด หรือเพื่อความสะดวกสามารถเลือกต่อกับบอร์ดเสริม (Arduino Shield) ประเภทต่างๆ เช่น Arduino Xbee Shield, Arduino Music Shield, Arduino Relay Shield, Arduino Wireless Shield, Arduino GPRS Shield เป็นต้น มาเสียบกับบอร์ดบนบอร์ด Arduino แล้วเขียนโปรแกรมพัฒนาต่อได้เลย

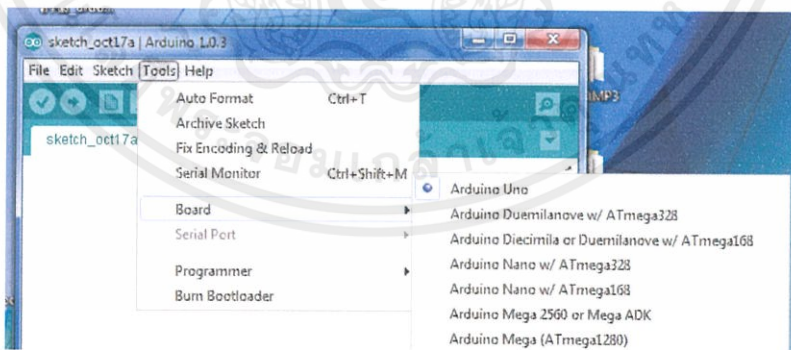
เอกสารนี้เป็นเอกสารที่สงวนไว้สำหรับการใช้งานเพื่อการศึกษาเท่านั้น ไม่อนุญาตให้นำไปใช้ประโยชน์ด้านการค้าไม่ว่ากรณีใดๆทั้งสิ้น อีกทั้งห้ามมิให้ดัดแปลงเนื้อหา และต้องอ้างอิงถึงเจ้าของเอกสารทุกครั้งที่มีการนำไปใช้

2.1.2 รูปแบบการเขียนโปรแกรมบน Arduino



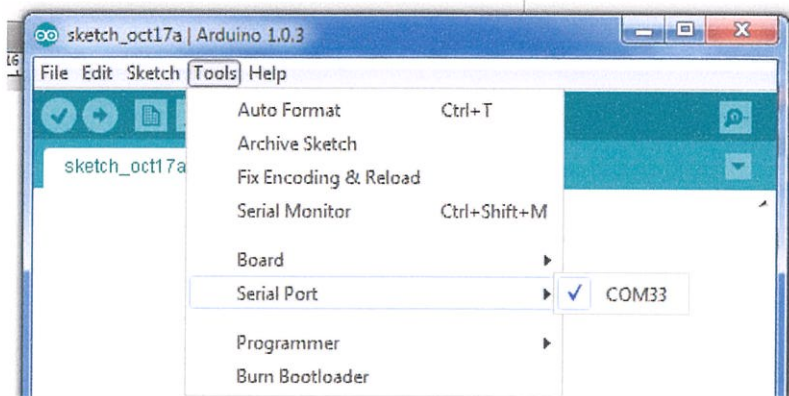
รูปที่ 2.2 การเขียนโปรแกรมบน Arduino

1. เขียนโปรแกรมบนคอมพิวเตอร์ ผ่านทางโปรแกรม ArduinoIDE ซึ่งสามารถดาวน์โหลดได้จาก [Arduino.cc/en/main/software](https://www.arduino.cc/en/main/software)
2. หลังจากเขียนโค้ดโปรแกรมเรียบร้อยแล้ว ให้ผู้ใช้งานเลือกรุ่นบอร์ด Arduino ที่ใช้และหมายเลข Comport



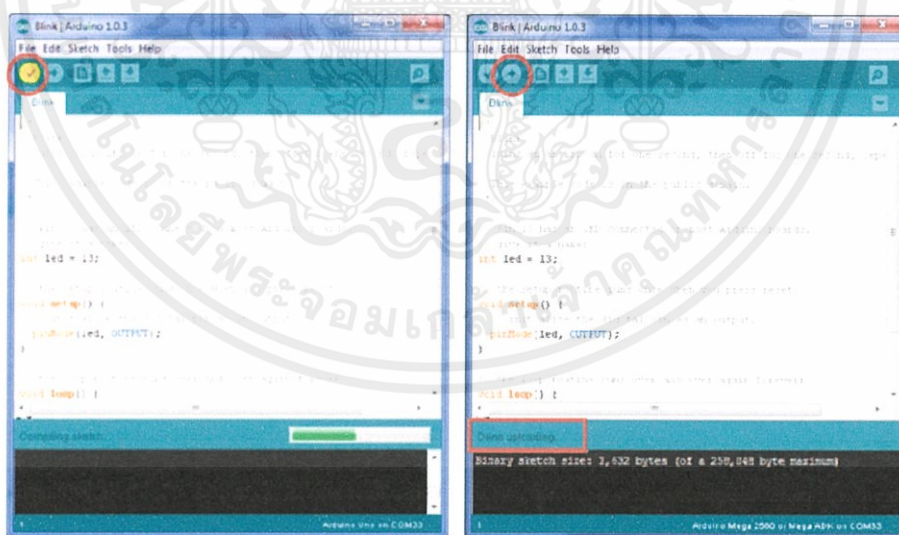
รูปที่ 2.3 เลือกรุ่นบอร์ด Arduino ที่ต้องการ Upload

เอกสารนี้เป็นเอกสารที่สงวนไว้สำหรับการใช้งานเพื่อการศึกษาเท่านั้น ไม่อนุญาตให้นำไปใช้ประโยชน์ด้านการค้า ไม่ว่าจะกรณีใดๆทั้งสิ้น อีกทั้งห้ามมิให้ตัดแปลงเนื้อหา และต้องอ้างอิงถึงเจ้าของเอกสารทุกครั้งที่มีการนำไปใช้



รูปที่ 2.4 เลือกหมายเลข Comport ของบอร์ด

3. กดปุ่ม Verify เพื่อตรวจสอบความถูกต้องและ Compile โค้ดโปรแกรม จากนั้น กดปุ่ม Upload โค้ดโปรแกรมไปยังบอร์ด Arduino ผ่านทางสาย USB เมื่ออัปโหลดเรียบร้อยแล้ว จะแสดงข้อความแถบข้างล่าง “Done uploading” และบอร์ดจะเริ่มทำงานตามที่เขียนโปรแกรมไว้ได้ทันที



รูปที่ 5 กดปุ่ม Verify เพื่อตรวจสอบความถูกต้อง และ Compile โค้ดโปรแกรม

รูปที่ 6 Upload โค้ดโปรแกรม

รูปที่ 2.5 การตรวจสอบ และ การอัปโหลด

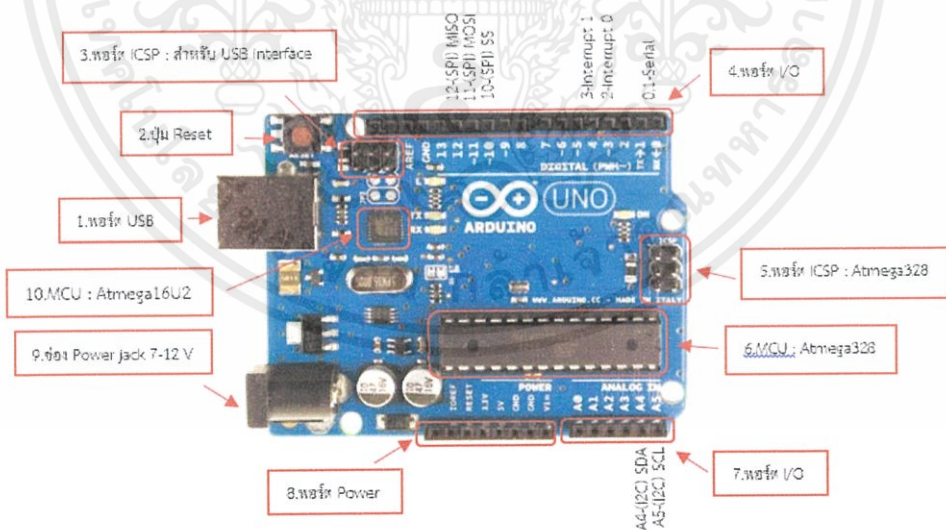
เอกสารนี้เป็นเอกสารที่สงวนไว้สำหรับใช้เฉพาะในโครงการที่ขอใช้เท่านั้น เมื่อผู้ใดให้นำไปใช้ประโยชน์ด้านการค้าไม่ว่ากรณีใดๆทั้งสิ้น อีกทั้งห้ามมิให้ตัดแปลงเนื้อหา และต้องอ้างอิงถึงเจ้าของเอกสารทุกครั้งที่มีการนำไปใช้

2.1.3 ตัวอย่าง Code ของ Arduino Uno R3

โปรแกรมควบคุมการกะพริบของหลอดไฟ LED สีแดง โดยให้หลอดไฟกะพริบติด และ หน่วงเวลา 1 วินาที หรือ 1000 มิลลิวินาที และดับ 1 วินาที หรือ 1000 มิลลิวินาที และให้หลอดไฟ ติดอีกครั้งใน 1 วินาที หรือ 1000 มิลลิวินาที และวนการทำงานดังกล่าวต่อไปเรื่อยๆ จนจบการทำงานของโปรแกรม

```
int led = 13;
void setup()
{
  pinMode(led, OUTPUT);
}
void loop()
{
  digitalWrite(led, HIGH);
  delay(1000);
  digitalWrite(led, LOW);
  delay(1000);
}
```

2.1.4 Layout & Pin out Arduino Board



รูปที่ 2.6 Layout & Pin out Arduino Board

เอกสารนี้เป็นเอกสารที่สงวนไว้สำหรับการใช้งานเพื่อการศึกษาเท่านั้น ไม่อนุญาตให้นำไปใช้ประโยชน์ด้านการค้า ไม่ว่าจะกรณีใดๆทั้งสิ้น อีกทั้งห้ามมิให้ตัดแปลงเนื้อหา และต้องอ้างอิงถึงเจ้าของเอกสารทุกครั้งที่มีการนำไปใช้

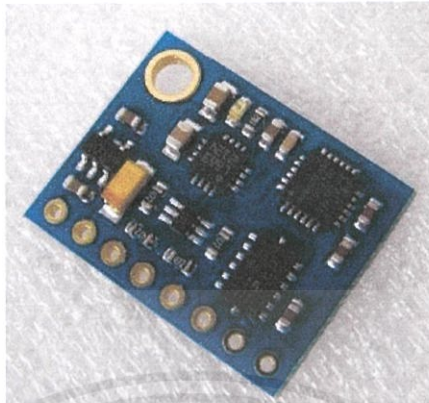
1. **USB Port** : ใช้สำหรับต่อกับ Computer เพื่ออัปโหลดโปรแกรมเข้า MCU และจ่ายไฟให้กับบอร์ด
2. **Reset Button** : เป็นปุ่ม Reset ใช้กดเมื่อต้องการให้ MCU เริ่มการทำงานใหม่
3. **CSP Port** : ของ Atmega16U2 เป็นพอร์ตที่ใช้โปรแกรม Visual Comport บน Atmega16U2
4. **I/O port** : Digital I/O ตั้งแต่ขา D0 ถึง D13 นอกจากนี้บาง Pin จะทำหน้าที่อื่นๆ เพิ่มเติมด้วย เช่น Pin0, 1 เป็นขา Tx, Rx Serial, Pin 3, 5, 6, 9, 10 และ 11 เป็นขา PWM
5. **ICSP Port** : Atmega328 เป็นพอร์ตที่ใช้โปรแกรม Bootloader
6. **MCU** : Atmega328 เป็น MCU ที่ใช้บนบอร์ด Arduino
7. **I/O port** : นอกจากจะเป็น Digital I/O แล้ว ยังเปลี่ยนเป็นช่องรับสัญญาณอนาล็อก ตั้งแต่ขา A0 - A5
8. **Power Port** : ไฟเลี้ยงของบอร์ดเมื่อต้องการจ่ายไฟให้กับวงจรภายนอก ประกอบด้วยขาไฟเลี้ยง +3.3 V, +5V, GND, V_{in}
9. **Power Jack** : รับไฟจาก Adapter โดยที่แรงดันอยู่ระหว่าง 7 - 12 V
10. **MCU ของ Atmega16U2** เป็น MCU ที่ทำหน้าที่เป็น USB to Serial โดย Atmega328 จะติดต่อกับ Computer ผ่าน Atmega16U2

2.1.5 Arduino Uno R3

Arduino Uno R3 บอร์ดไมโครคอนโทรลเลอร์แบบ Open-source บนแพลตฟอร์ม ออกแบบมาให้ใช้งานได้ง่าย ใช้ชิพ ATmega328P รัทที่ความถี่ 16 MHz หน่วยความจำแฟลช 32 KB แรม 2 KB บอร์ดใช้ไฟเลี้ยง 7 ถึง 12 V มีระดับแรงดันไฟฟ้าในการทำงานและขาสัญญาณอยู่ที่ 5 V (TTL) มี Digital Input/Output 14 ขา (เป็น PWM ได้ 6 ขา) มี Analog Input 6 ขา Serial UART 1 ชุด I2C 1 ชุด SPI 1 ชุด เขียนโปรแกรมบนซอฟต์แวร์ Arduino IDE และโปรแกรมผ่านพอร์ต USB เหมาะสำหรับผู้ที่สนใจเริ่มต้นเรียนรู้การพัฒนาไมโครคอนโทรลเลอร์ หรือแม้แต่ผู้ที่ไม่เคยเรียนรู้ด้าน อิเล็กทรอนิกส์มาก่อนก็สามารถนำมาสร้างต้นแบบที่เกี่ยวกับอิเล็กทรอนิกส์ได้

เอกสารนี้เป็นเอกสารที่สงวนไว้สำหรับการใช้งานเพื่อการศึกษาเท่านั้น ไม่อนุญาตให้นำไปใช้ประโยชน์ด้านการค้า ไม่ว่าจะกรณีใดๆทั้งสิ้น อีกทั้งห้ามมิให้คัดแปลงเนื้อหา และต้องอ้างอิงถึงเจ้าของเอกสารทุกครั้งที่มีการนำไปใช้

2.2 โมดูลเซนเซอร์ GY-85 IMU/9DOF (ITG3205 ADXL345 HMC5883L)



รูปที่ 2.7 โมดูลเซนเซอร์ GY-85 IMU/9DOF

2.2.1 รายละเอียดโมดูลเซนเซอร์ GY-85 IMU/9DOF

ข้อมูลเบื้องต้น (Introduction/Overview)

GY-85 เป็นโมดูลเซนเซอร์ Accelerometers & Gyroscope & Compass ซึ่งสามารถทำงานได้ทั้ง 3 อย่างในเวลาเดียวกัน ใช้ในการตรวจสอบทิศทางการเคลื่อนที่และสามารถใช้ในการตรวจสอบความเร็วในการเปลี่ยนแปลงทิศทางของแกน X Y Z ได้ยกตัวอย่าง ถ้าวัตถุเกิดการเคลื่อนที่หรือเอียง Output ของ Accelerometer จะบอกค่าของการเอียงว่าสถานะปัจจุบันค่าของ X Y Z อยู่ที่เท่าไร แต่ Gyroscope จะวัดค่าได้ตอนที่กำลังเอียงหรือตอนกำลังเคลื่อนไหวเท่านั้น เมื่อวัตถุหยุดนิ่งค่าของ Gyroscope จะวัดไม่ได้เพราะไม่มีการเคลื่อนไหวและสามารถเป็นเข็มทิศได้ ในเวลาเดียวกันบนโมดูลประกอบด้วยชิป ADXL345 HMC5883L ITG3205 ส่งข้อมูลผ่าน Bus I2C

คุณสมบัติ (Features)

- ใช้ไฟเลี้ยง +3.3 ถึง +5 V
- ชิป ADXL345 HMC5883L ITG3205
- เชื่อมต่อผ่านบัส I2C

การนำไปประยุกต์ใช้งาน (Application Ideas)

- ตรวจสอบทิศทางและการเคลื่อนที่เคลื่อนไหวต่างๆ ของวัตถุข้อควรระวังในการใช้งาน (Caution / Warning)
- ควรหลีกเลี่ยงการต่อวงจรให้เกิดการลัดวงจร
- ควรอ่านเอกสารก่อนการต่อวงจรจริง
- ไม่ควรใช้ไฟเกินตามที่เอกสารกำหนด

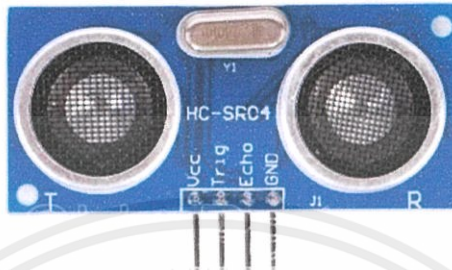
คุณลักษณะ (Specification)

- อุณหภูมิที่รองรับ -40 to +85 °C
- รองรับแรงดัน 3.3 – 5 V

- ทดสอบการตกกระแทกที่ 1.8 เมตร

- ขนาด : 17 mm * 22 mm

2.3 เซนเซอร์ Ultrasonic Module HC-SR04 Distance Measuring Transducer Sensor



รูปที่ 2.8 เซนเซอร์ Ultrasonic Sensor

เซนเซอร์ Ultrasonic ใช้เสียงสะท้อนกลับในการคำนวณวัดระยะทาง ความแม่นยำที่ 2 – 400 cm ใช้ง่ายและมีไลบรารีมาตรฐานพร้อมใช้งาน

การใช้งาน โมดูลวัดระยะทาง Ultrasonic Module Distance Measuring Transducer Sensor กับ Arduino

การวัดระยะทางโดยใช้ โมดูล Ultrasonic ร่วมกับ Arduino สามารถทำได้ง่าย อุปกรณ์โมดูล Ultrasonic มีความแม่นยำในการวัดระยะทาง การทำงานเป็นแบบคลื่นสะท้อนกลับแล้วนำมาคำนวณระยะทาง จึงเหมาะสำหรับมาใช้ในการหลบหลีกสิ่งกีดขวาง ตรวจจับวัตถุที่อยู่ในรัศมีที่ต้องการ

วิธีการต่อขาใช้งานโมดูลวัดระยะทาง Ultrasonic Module Distance Measuring Transducer Sensor กับ Arduino

- Vcc – 5v
- Gnd – Gnd
- Trig – 13
- Echo – 12

2.4 รีโมทคอนโทรล

เราเลือกใช้ RadioLink T6EHP 2.4Ghz 6CH เครื่องส่งสัญญาณวิทยุและ Receiver (สำหรับ 6CH 3D Helicopter บิน) ดิจิตอล 2.4GHz 6 ช่องทาง RC ระบบ T6EHP นำเทคโนโลยี 2.4 GHz FHSS มาใช้สำหรับเฮลิคอปเตอร์ 3D เนื่องจากการทำงานที่ทันสมัยที่สุดวิทยุ 2.4 GHz เทคโนโลยีการควบคุมเป็นสิ่งจำเป็นเพื่อให้เครื่องส่งและเครื่องรับสัญญาณระบบ RC เครื่องบินบังคับที่ดีที่สุด ในขณะที่เดียวกันสามารถหลีกเลี่ยงปัญหาการทำงานที่ผิดพลาดได้ดี เพราะมีกลไกที่ทันสมัยในรหัสที่ตรงกัน ดังรูปที่ 2.9



รูปที่ 2.9 รีโมทคอนโทรล Radio Link

ข้อมูลรายละเอียด

ชื่อโมเดล	2.4G 6Ch
ยี่ห้อ	RadioLink
โมเดล	T6EHP-E
ประเภทโวลต์	Standard Voltage
หมายเลขโมเดล	T6EHP-E
ปริมาณ	Standard
ช่องรับสัญญาณ	6 Channel
น้ำหนัก (กรัม)	640
ช่อง	6 Channel
เข้ากันกับ	FUTABA 6EX TREX T-REX 450 500
ปลอก	2.4 กรัม
ประเภทระบบ	FHSS 2.4GHz
ประเภทเครื่องส่งสัญญาณ	Panel Style
ตัวรับสัญญาณ	R7EH 2.4G
โวลต์ปฏิบัติการ	9V
ระยะทาง	900 m
น้ำหนัก	50 กรัม
ตัวเลือกการส่ง	โหมด 2
ระบบการควบคุม	RC System T6EHP Adopted FHSS 2.4GHz
ควบคุม	Panel Style
Power Adapter Option	อะแดปเตอร์ UK
ตามการใช้งาน	เฮลิคอปเตอร์

เอกสารนี้เป็นเอกสารที่สงวนไว้สำหรับการใช้งานในท้องถิ่นเท่านั้น ไม่อนุญาตให้นำไปใช้ประโยชน์ด้านการค้า
ไม่ว่ากรณีใดๆ หากพบข้อผิดพลาด กรุณาแจ้งไปยังฝ่ายเทคนิคเพื่อปรับปรุงแก้ไข และต้องอ้างอิงถึงเจ้าของเอกสารทุกครั้งที่มีการนำไปใช้

2.4.1 การใช้งานของรีโมทคอนโทรล



รูปที่ 2.10 ตำแหน่งการใช้งานของรีโมท Radio Link

รายละเอียดของตำแหน่งการใช้งานของรีโมทคอนโทรล มีดังนี้

1. เสาอากาศ (Antenna)
 - สำหรับส่งสัญญาณวิทยุไปยังตัวรับสัญญาณ Receiver
2. สวิตช์ใจโรสโคป (Gyro Switch)
 - สำหรับปรับการทำงานของใจโรสโคป
3. คันโยกควบคุมการยกกระดับ (Elevator and Rudder Control Stick)
 - สำหรับควบคุมการเคลื่อนที่ในแนวระดับ
4. ตัวปรับการควบคุมคันโยก (Trimmer)
 - สำหรับการเบี่ยงเบนการควบคุมของคันบังคับ
5. จอมอนิเตอร์ (LCD Screen)
 - สำหรับอ่านค่าระดับการทำงานของ Quadrotor
6. สวิตช์ล๊อคความเร่ง (Throttle Hold Switch)
 - สำหรับควบคุมความเร่งคงที่ของ Quadrotor
7. คันโยกควบคุมทิศทาง (Aileron and Throttle Control Stick)
 - สำหรับควบคุมทิศทางการเคลื่อนที่
8. ไฟเตือนการทำงาน (Power LED) และต้องอ้างอิงถึงเจ้าของเอกสารทุกครั้งที่มีการนำไปใช้
 - สำหรับเตือนการใช้งาน และหยุดใช้งานของรีโมทคอนโทรล

เอกสารนี้เป็นเอกสารที่... สำหรับควบคุมทิศทางการเคลื่อนที่... ศึกษาเท่านั้น ไม่อนุญาตให้นำไปใช้ประโยชน์ด้านการค้า... ไม่ว่ากรณีใดๆ

9. ปุ่มเปิด/ปิดสวิตช์ (On/Off Switch)
 - สำหรับการเปิดและปิดสวิตช์ที่เราต้องการ
10. ปุ่มปรับโหมดการทำงาน (Mode Button)
 - สำหรับปรับเลือกการใช้งานของรีโมทคอนโทรล
11. ปุ่มรับข้อมูลอินพุต (Data Input Button)
 - สำหรับปุ่มกำหนดค่าอินพุตสำหรับการใช้งานรีโมทคอนโทรล
12. ปุ่มเลือกการทำงาน (Select Button)
 - สำหรับเลือกการทำงานของข้อมูลต่างๆ ของรีโมทคอนโทรล

2.5 รีซีฟเวอร์ (Receiver)

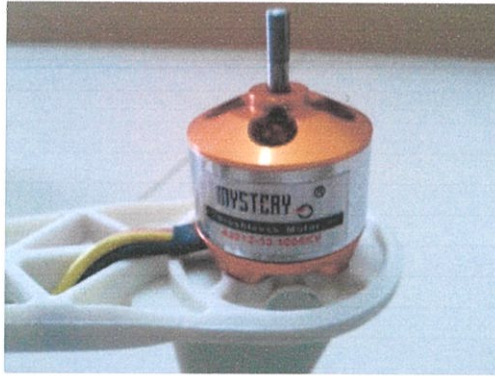
Receiver คือ อุปกรณ์ที่ใช้สำหรับรับสัญญาณความถี่ 2.4 GHz จากเครื่องส่ง แล้วทำการแปลงสัญญาณเพื่อไปควบคุมการทำงานของ Speed Control ของแต่ละช่องสัญญาณประกอบด้วยเสาอากาศและแผงวงจรไฟฟ้าเพื่อคอยรับสัญญาณจากเครื่องส่ง และควบคุมให้มอเตอร์ของเฮลิคอปเตอร์ทำงานโดยผ่าน ESC ดังรูปที่ 2.11



รูปที่ 2.11 เครื่องรับสัญญาณ (Receiver)

2.6 มอเตอร์กระแสตรงแบบไร้แปรงถ่าน (Brushless DC Motor)

Brushless Motor คือ มอเตอร์ชนิดที่ไม่แปรงถ่านหรือมอเตอร์ซิงโครนัส 3 เฟสที่ทำงานโดยอาศัยอุปกรณ์อิเล็กทรอนิกส์กำลังเป็นสวิตช์ในการตัดต่อกระแสที่จ่ายให้กับขดลวดมอเตอร์ โดยที่ชนิดของมอเตอร์จะพิจารณาตามลักษณะรูปคลื่นกระแส และคุณสมบัติของแรงบิดหรือทอร์กโดยจะนิยมเรียกว่า Brushless DC Motor ในกรณีที่รูปแบบของกระแสและทอร์กของมอเตอร์ที่ใช้มีลักษณะเป็นแบบสี่เหลี่ยม (Trapezoidal Current/Torque) Brushless DC Motor เป็นมอเตอร์ไฟฟ้าที่ใช้พลังงานไฟฟ้ากระแสตรง และอาศัยระบบอิเล็กทรอนิกส์คอมพิวเตอรืในการหมุน โดยภายในจะมีขดลวดวางทำมุมห่างกัน 120 องศาในโครงงานนี้เลือกใช้มอเตอร์บรชเลสขนาด 1000 KV ใช้กระแส 30 แอมป์



รูปที่ 2.12 มอเตอร์กระแสตรงแบบไร้แปรงถ่าน (Brushless DC Motor)

2.7 ESC (Electronic Speed Controller)

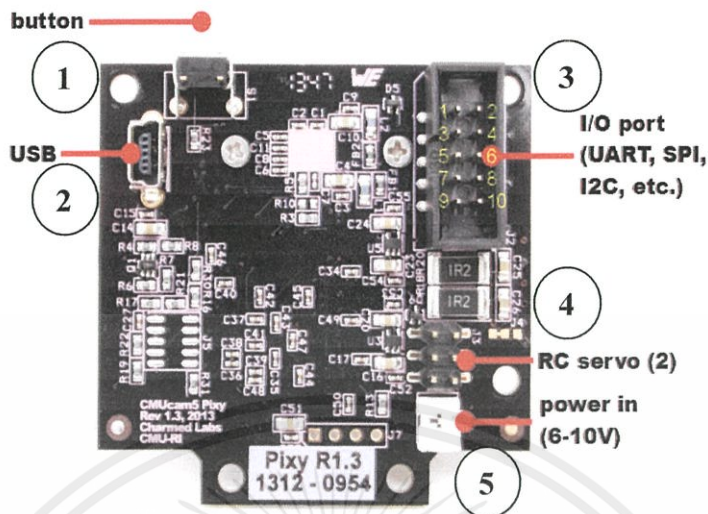
Speed Control เป็นอุปกรณ์อิเล็กทรอนิกส์ประเภทหนึ่งประกอบด้ววงจรในการควบคุมความเร็วของมอเตอร์ ซึ่งสำหรับเฮลิคอปเตอร์ 4 ใบพัดนั้นจำเป็นต้องมีอุปกรณ์นี้เพื่อใช้ในการควบคุมมอเตอร์ โดยรับสัญญาณการควบคุมมาจาก Receiver ซึ่งจะสัมพันธ์กับตำแหน่งของคันโยกที่เราขยับ เช่น ถ้าตำแหน่งคันโยกอยู่ตำแหน่งต่ำสุด ESC จะไม่จ่ายกำลังไฟฟ้าให้กับมอเตอร์ ถ้าตำแหน่งคันโยกอยู่ที่กึ่งกลาง ESC จะจ่ายกำลังไฟฟ้าให้กับมอเตอร์ 50% เป็นต้น



รูปที่ 2.13 ESC (Electronic Speed Controller)

เอกสารนี้เป็นเอกสารที่สงวนไว้สำหรับการใช้งานเพื่อการศึกษาเท่านั้น ไม่อนุญาตให้นำไปใช้ประโยชน์ด้านการค้า ไม่ว่าจะกรณีใดๆทั้งสิ้น อีกทั้งห้ามมิให้ตัดแปลงเนื้อหา และต้องอ้างอิงถึงเจ้าของเอกสารทุกครั้งที่มีการนำไปใช้

2.8.1 องค์ประกอบของบอร์ดกล้องเซนเซอร์ติดตามวัตถุ (PIXY CMU Cam5)



รูปที่ 2.16 องค์ประกอบของกล้องเซนเซอร์ติดตามวัตถุ (PIXY CMU Cam5)

รายละเอียดขององค์ประกอบของบอร์ดกล้องเซนเซอร์ (PIXY CMU Cam5)

1. Button
 - ปุ่มกดเพื่อโฟกัสภาพ ในการตรวจจับ และจดจำวัตถุที่ต้องการ
2. USB
 - ช่องต่อ USB เพื่อแสดงภาพผ่านคอมพิวเตอร์ด้วยโปรแกรมPixyMon
3. พอร์ต UART
 - พอร์ตที่สามารถเชื่อมต่อกับบอร์ด Arduino UNO R3
4. RC Servo(2)
 - ช่องพอร์ตสำหรับต่อกับเซอร์โวมอเตอร์ที่ใช้ในระบบควบคุม
5. Power In(6-10V)
 - ช่องพอร์ตสำหรับจ่ายไฟเลี้ยง 6-10 V ของกล้องเซนเซอร์ติดตามวัตถุ

2.9 USB to UART Cable (PL2303 HX)



รูปที่ 2.17 USB to UART Cable (PL2303 HX)

USB to UART Cable (PL2303 HX) เป็นสายที่เชื่อมต่อระหว่างบอร์ด Arduino ผ่านทางพอร์ต Rx และ Tx เชื่อมต่อกับคอมพิวเตอร์ด้วยพอร์ต USB ใช้ในการรับส่งข้อมูลโปรแกรม เพื่อรับค่าและส่งค่าต่างๆ เข้าหา บอร์ด Arduino โดยตรง โดยมีสายต่อกับบอร์ด Arduino 4 เส้นและมีการต่อสายแต่ละเส้นดังนี้

Black	- GND (0V)
Red	- +5V
Green	- Tx
White	- Rx

2.10 แบตเตอรี่ (Lithium Polymer Battery 3000 mAh)



รูปที่ 2.18 แบตเตอรี่ (Lithium Polymer Battery 3000 mAh)

แบตเตอรี่ (Lithium Polymer Battery 3000 mAh) มีน้ำหนักเบาโดยมีความจุ 3000 mAh สามารถจ่ายกระแสได้ปริมาณมากกว่าความจุ ทำให้มีความเร็วเพิ่มขึ้น และแรงดันคงที่ตลอดเวลา จะทำให้ Quadrotor สามารถใช้งานได้เป็นเวลายาวนานและไม่เกิดการกระตุกระหว่างการใช้งาน ทำให้การเคลื่อนที่ของ Quadrotor มีประสิทธิภาพมากยิ่งขึ้น โดยแบตเตอรี่นี้สามารถชาร์จความจุได้ด้วยเครื่องชาร์จ จึงเหมาะแก่การใช้งานกับ Quadrotor

2.11 หลักการควบคุมเฮลิคอปเตอร์ 4 ใบพัด

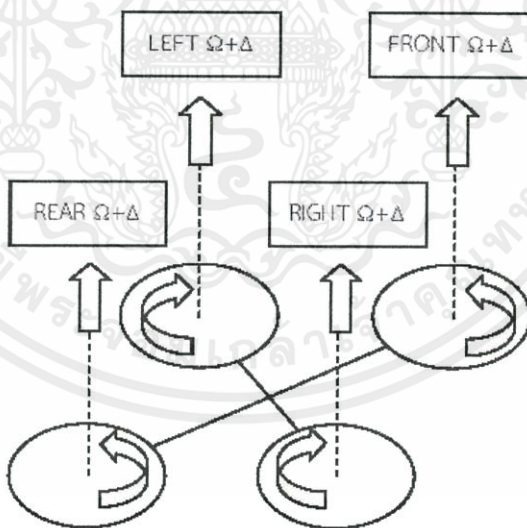
การควบคุมเฮลิคอปเตอร์ 4 ใบพัดทำได้โดยการเปลี่ยนความเร็วของใบพัด ซึ่งทำให้แรงบิดและแรงยกของแต่ละใบพัดเปลี่ยนไป หลักการควบคุมเฮลิคอปเตอร์ 4 ใบพัดในแบบต่างๆ ทำได้ดังนี้ กำหนดสัญลักษณ์และความหมายดังต่อไปนี้

1. Ω หมายถึง ความเร็วขณะนั้น
2. Δ หมายถึง ความเร็วที่เปลี่ยนไป
3. $\ddot{\theta}$ หมายถึง การเร่งความเร็วในแนวตั้ง (Throttle)
4. R หมายถึง การเอียงตัวไปทางขวา (Roll)
5. P หมายถึง การเอียงตัวไปข้างหน้า (Pitch)



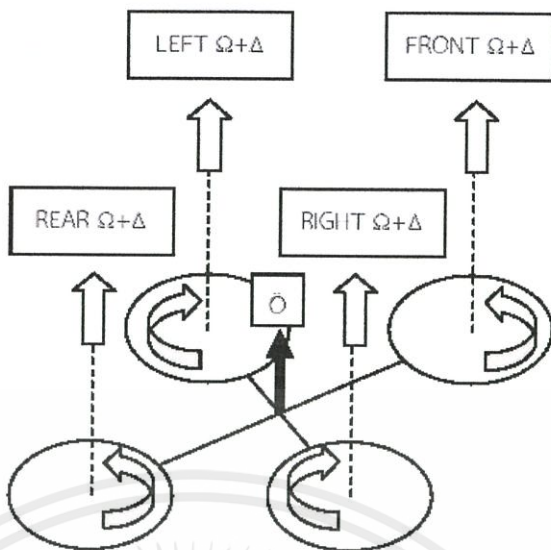
รูปที่ 2.19 Quadrotor Body

การลอยตัวนิ่ง (Hovering) ทำได้โดยควบคุมความเร็วของ ESC โดยสั่งให้เซอร์โวมอเตอร์ขับเคลื่อนใบพัดทั้งสองตัวหมุน เพื่อสร้างแรงยกในปริมาณความเร็วที่เท่ากัน โดยใบพัดแต่ละคู่จะหมุนในทิศทางตรงข้ามกันคือใบพัดหน้าและหลังจะหมุนทวนเข็มนาฬิกา ใบพัดซ้ายและขวาจะหมุนตามเข็มนาฬิกาจะก่อให้เกิดแรงบิดจากใบพัดแต่ละคู่จะหักล้างกันทำให้ Quadcopter ลอยตัวนิ่งได้ดังรูปที่ 2.20



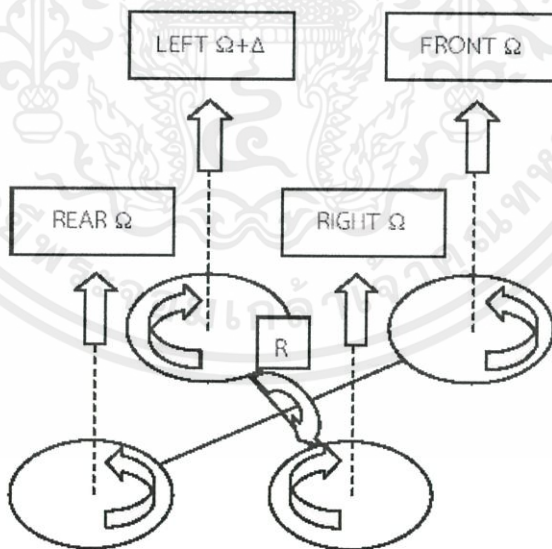
รูปที่ 2.20 การลอยตัวนิ่ง (Hovering)

การเร่ง - ลดความเร็วในแนวดิ่ง (Throttle) ทำได้โดยควบคุมความเร็วของ ESC โดยสั่งให้เซอร์โวมอเตอร์ขับเคลื่อนใบพัดทั้งสองมีปริมาณความเร่งที่เท่าๆ กันทั้งหมดจะก่อให้เกิดแรงยก หรือแรงต้าน เพื่อการยกระดับขึ้นหรือลงเพื่อเร่งความเร็ว Quadropter บินขึ้น-ลง ได้อย่างสมดุลดังรูปที่ 2.21



รูปที่ 2.21 การเร่ง - ลดความเร็วในแนวตั้ง (Throttle)

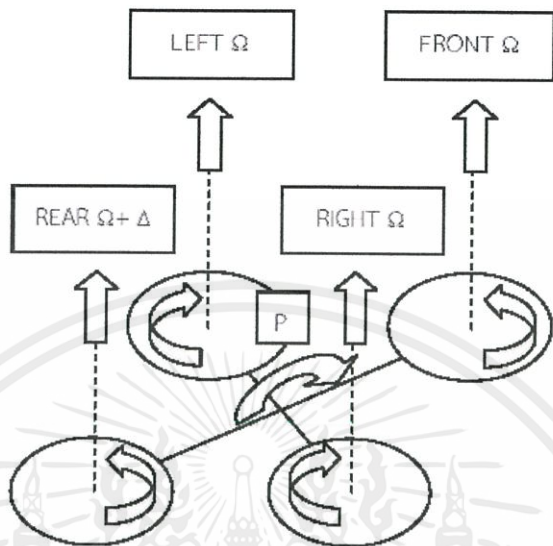
การเอียงตัวซ้าย-ขวา (Roll) ได้โดยควบคุมความเร็วของ ESC โดยสั่งให้เซอร์โวมอเตอร์ขับเคลื่อนใบพัดหน้า (Front) และหลัง (Rear) จะมีความเร็วเท่าเดิม แต่ความเร็วใบพัดซ้าย (Left) จะหมุนเร็วขึ้น ทำให้มีความเร็วเพิ่มขึ้นทำให้ทิศทางนี้ยกตัวขึ้นและในส่วนของใบพัดขวา (Right) จะช้าลง ทำให้ทิศทางนี้มีความเร็วตกลงทำให้เกิดการเอียงตัวไปทางขวาส่วนเอียงตัวซ้ายก็ใช้วิธีตรงกันข้ามดังรูปที่ 2.22



รูปที่ 2.22 การเอียงตัวซ้าย-ขวา (Roll)

เอกสารนี้เป็นเอกสารที่สงวนไว้สำหรับการใช้งานเพื่อการศึกษาเท่านั้น ไม่อนุญาตให้นำไปใช้ประโยชน์ด้านการค้าไม่ว่ากรณีใดๆทั้งสิ้น อีกทั้งห้ามมิให้คัดแปลงเนื้อหา และต้องอ้างอิงถึงเจ้าของเอกสารทุกครั้งที่มีการนำไปใช้

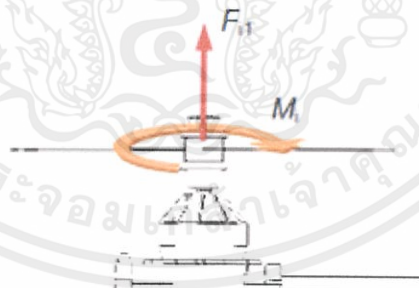
การเอียงตัวหน้า-หลัง (Pitch) วิธีนี้คล้ายกับการเอียงตัวซ้าย-ขวา แต่เปลี่ยนเป็นให้ใบพัดซ้าย-ขวาและข้างหน้าให้มีความเร็วคงที่ แต่ความเร็วใบพัดหลังจะหมุนเร็วขึ้นทำให้ทิศทางนี้ยกตัวทำให้บินเอียงไปข้างหน้าดังรูปที่ 2.23 ส่วนการเอียงตัวทางด้านหลังก็ใช้วิธีตรงกันข้าม



รูปที่ 2.23 การเอียงตัวหน้า-หลัง (Pitch)

2.12 พลศาสตร์การเคลื่อนที่

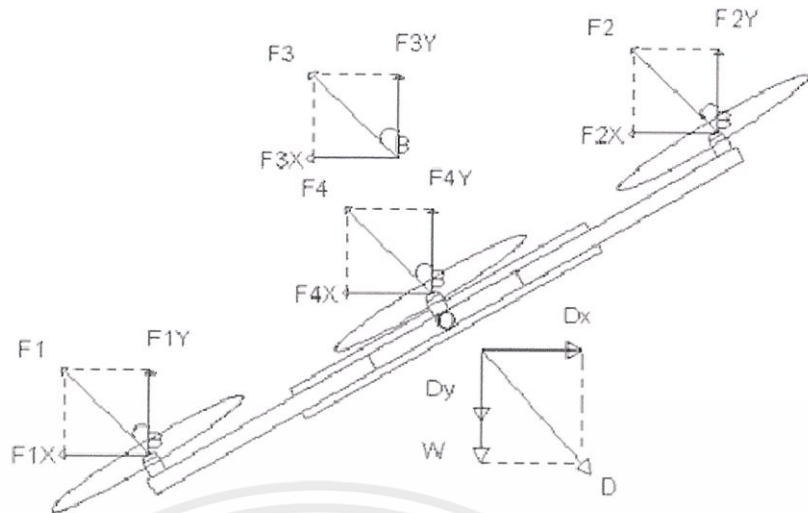
เมื่อมอเตอร์หมุนจะทำให้เกิดแรงยกที่มีทิศทางตามแรง F ซึ่งจะอธิบายได้ดังต่อไปนี้



รูปที่ 2.24 การหมุนของมอเตอร์

ในการเคลื่อนที่ของเฮลิคอปเตอร์จะมีทั้งหมดอยู่ 3 แกนคือ แกน X Y และ Z แต่ถ้าพิจารณาในเรื่องสมดุลแล้วแรงยกจะถูกแบ่งออกเป็นในแนวแกน X และแกน Y

เอกสารนี้เป็นเอกสารที่สงวนไว้สำหรับการใช้งานเพื่อการศึกษาเท่านั้น ไม่อนุญาตให้นำไปใช้ประโยชน์ด้านการค้า ไม่ว่าจะกรณีใดๆทั้งสิ้น อีกทั้งห้ามมิให้คัดลอกเนื้อหา และต้องอ้างอิงถึงเจ้าของเอกสารทุกครั้งที่มีการนำไปใช้



รูปที่ 2.25 การคำนวณแรงตามแนวแกน X Y และ Z

จากกฎของนิวตัน $\Sigma F = ma$ (2.1)

ดังนั้นจะได้ $F1 + F2 + F3 + F4 - D - W = ma$ (2.2)

รวมแรงในแนวแกน X จะได้ $F1X + F2X + F3X + F4X - DX = max$ (2.3)

เมื่อแตกแรงเข้าแกน X จะได้ $F1\sin B + F2\sin B + F3\sin B + F4\sin B - Dx = max$ (2.4)

หาความเร่งในแนวแกน X ได้เป็น $ax = \frac{(F1 + F2 + F3 + F4)\sin B - Dx}{m}$ (2.5)

รวมแรงในแนวแกน Y จะได้ $F1Y + F2Y + F3Y + F4Y - W - DY = may$ (2.6)

เมื่อแตกแรงเข้าแกน Y จะได้ $F1\cos B + F2\cos B + F3\cos B + F4\cos B - W - Dy = may$ (2.7)

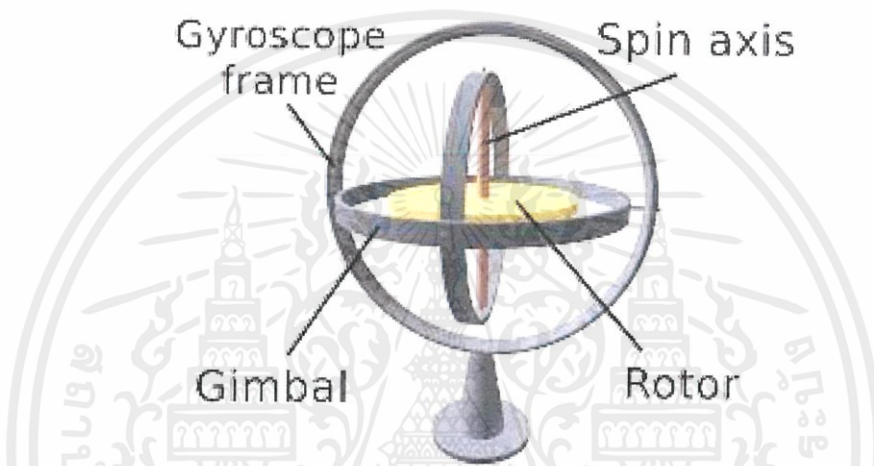
หาความเร่งในแนวแกน Y ได้เป็น $ay = \frac{(F1 + F2 + F3 + F4)\cos B - W - Dy}{m}$ (2.8)

2.13 Inertial Measurement Unit (IMU)

เซนเซอร์หรืออุปกรณ์ที่ใช้ใน INS (Inertial Navigation System) ถูกเรียกว่า Inertial Measurement Units (IMU) ซึ่งเป็นส่วนประกอบหลักของ INSs ที่ใช้ในเครื่องบิน, ยานอวกาศ และเรือ เช่นเดียวกับจรวดซีปนาวุธ IMU ประกอบด้วย 2 ส่วนหลักคือ Accelerometers 3 ทิศทาง และ Gyroscopes 3 ทิศทาง ซึ่งรับความเร่งยานพาหนะและความเร็วเชิงมุมตามลำดับ

2.13.1 Gyroscope

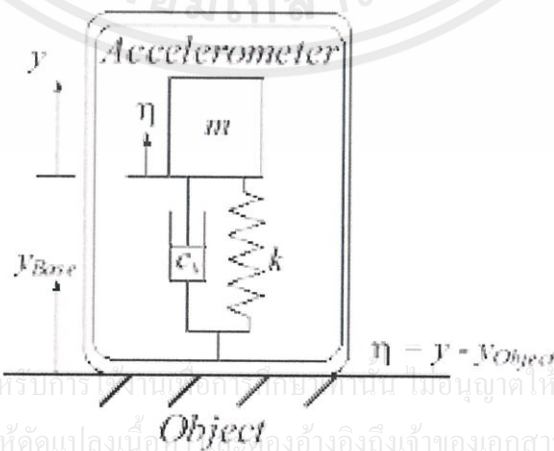
- เป็นอุปกรณ์สำหรับการวัด หรือการรักษาการปรับทิศทาง ขึ้นอยู่กับหลักการของการอนุรักษ์โมเมนตัมเชิงมุมที่อาศัยแรงเฉื่อยของล้อหมุน เพื่อช่วยรักษาระดับทิศทางของแกนหมุน ประกอบด้วยล้อหมุนเร็วบรรจุอยู่ในกรอบอีกทีหนึ่ง ทำให้เอียงในทิศทางต่างๆ ได้โดยอิสระ นั่นคือ หมุนในแกนใดๆ ก็ได้ โมเมนตัมเชิงมุมของล้อดังกล่าวทำให้มันคงรักษาตำแหน่งของมันไว้แม้กรอบล้อจะเอียง จากคุณสมบัติดังกล่าวทำให้สามารถนำหลักการนี้ไปประยุกต์ใช้เพื่อประโยชน์ต่างๆ มากมาย เช่น เข็มทิศ และนักบินอัตโนมัติของเครื่องบิน เรือ กลไกบังคับหางเสือของตอร์ปิโด อุปกรณ์ป้องกันการก่อกวนบนเรือใหญ่ และระบบนำร่องเฉื่อย (Inertial Guidance) รวมถึงระบบในยานอวกาศ และสถานีอวกาศดังรูปที่ 2.26



รูปที่ 2.26 Mechanic Gyroscope ซึ่งมี Two-degree of Freedom (TDF)

2.13.2 Accelerometer

- เป็นอุปกรณ์ที่ใช้วัดความเร่งตามแนวแกนที่เฉพาะเจาะจง ตั้งข้อสังเกตได้ว่า Accelerometers ใน IMU รับเพียง Specific Forces ดังรูปที่ 2.27



รูปที่ 2.27 โครงสร้างของ Accelerometer

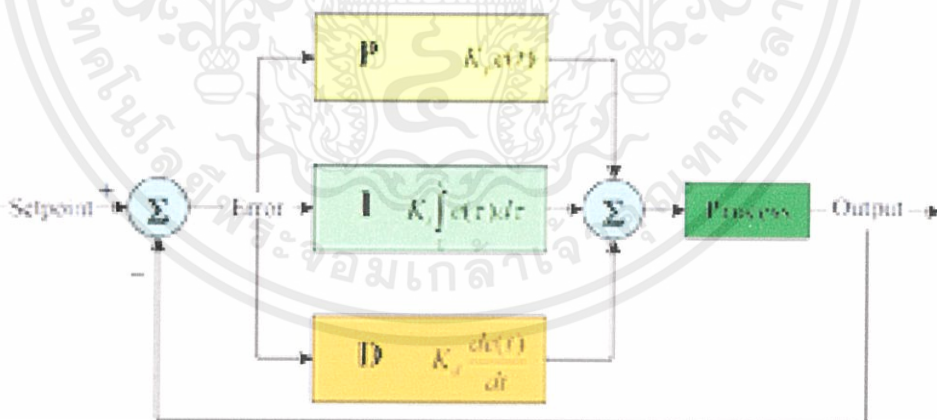
2.14 ระบบควบคุมพีไอดี

ระบบควบคุมแบบสัดส่วน-ปริพันธ์-อนุพันธ์ (อังกฤษ : PID Controller) เป็นระบบควบคุมแบบป้อนกลับที่ใช้กันอย่างกว้างขวาง ซึ่งค่าที่นำไปใช้ในการคำนวณเป็นค่าความผิดพลาดที่หามาจากความแตกต่างของตัวแปรในกระบวนการและค่าที่ต้องการ ตัวควบคุมจะพยายามลดค่าผิดพลาดให้เหลือน้อยที่สุดด้วยการปรับค่าสัญญาณขาเข้าของกระบวนการ ค่าตัวแปรของ PID ที่ใช้จะปรับเปลี่ยนตามธรรมชาติของระบบ

วิธีคำนวณของ PID ขึ้นอยู่กับสามตัวแปรคือ ค่าสัดส่วน, ปริพันธ์ และอนุพันธ์ ค่าสัดส่วนกำหนดจากผลของความผิดพลาดในปัจจุบัน, ค่าปริพันธ์กำหนดจากผลบนพื้นฐานของผลรวมความผิดพลาดที่ซึ่งผ่านไป, และค่าอนุพันธ์กำหนดจากผลบนพื้นฐานของอัตราการเปลี่ยนแปลงของค่าความผิดพลาด น้ำหนักที่เกิดจากการรวมกันของทั้งสามนี้จะใช้ในการปรับกระบวนการ

โดยการปรับค่าคงที่ใน PID ตัวควบคุมสามารถปรับรูปแบบการควบคุมให้เหมาะสมกับที่กระบวนการต้องการได้ การตอบสนองของตัวควบคุมจะอยู่ในรูปของการไหวตัวของตัวควบคุมจนถึงค่าความผิดพลาด ค่าโอเวอร์ชูต (Overshoots) และค่าแกว่งของระบบ (Oscillation) วิธี PID ไม่รับประกันได้ว่าจะเป็นระบบควบคุมที่เหมาะสมที่สุดหรือสามารถทำให้กระบวนการมีความเสถียรแน่นอน

การประยุกต์ใช้งานบางครั้งอาจใช้เพียงหนึ่งถึงสองรูปแบบ ขึ้นอยู่กับกระบวนการเป็นสำคัญ พีไอดีบางครั้งจะถูกเรียกว่าการควบคุมแบบ PI, PD, P หรือ I ขึ้นอยู่กับว่าใช้รูปแบบใดบ้าง



รูปที่ 2.28 แผนภาพบล็อกของการควบคุมแบบพีไอดี

เอกสารนี้เป็นเอกสารที่สงวนไว้สำหรับการใช้งานเพื่อการศึกษาเท่านั้น ไม่อนุญาตให้นำไปใช้ประโยชน์ด้านการค้าไม่ว่ากรณีใดๆทั้งสิ้น อีกทั้งห้ามมิให้ตัดแปลงเนื้อหา และต้องอ้างอิงถึงเจ้าของเอกสารทุกครั้งที่มีการนำไปใช้

ทฤษฎี

การควบคุมแบบ PID ได้ชื่อตามการรวมกันของเทอมของตัวแปรทั้งสามตามสมการ :

$$MV(t) = P_{out} + I_{out} + D_{out}$$

เมื่อ

P_{out} , I_{out} , และ D_{out} เป็นผลของสัญญาณขาออกจากระบบควบคุม PID จากแต่ละเทอมซึ่งนิยามตามรายละเอียดด้านล่าง

สัดส่วน

เทอมของสัดส่วน (บางครั้งเรียก อัตราขยาย) จะเปลี่ยนแปลงเป็นสัดส่วนของค่าความผิดพลาด การตอบสนองของสัดส่วนสามารถทำได้โดยการคูณค่าความผิดพลาดด้วยค่าคงที่ K_p , หรือที่เรียกว่าอัตราขยายสัดส่วน

เทอมของสัดส่วนจะเป็นไปตามสมการ :

$$P_{out} = K_p e(t)$$

เมื่อ

P_{out} : สัญญาณขาออกของเทอมสัดส่วน

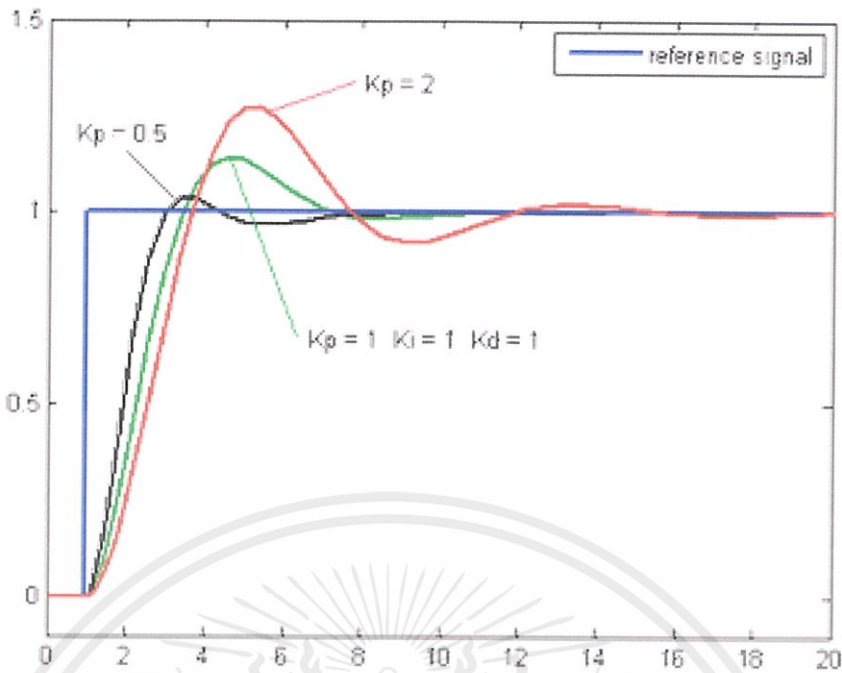
K_p : อัตราขยายสัดส่วน, ตัวแปรปรับค่าได้

e : ค่าความผิดพลาด = SP - PV

t : เวลา

ผลอัตราขยายสัดส่วนที่สูงค่าความผิดพลาดก็จะเปลี่ยนแปลงมากเช่นกัน แต่ถ้าสูงเกินไประบบจะไม่เสถียรได้ ในทางตรงกันข้ามผลอัตราขยายสัดส่วนที่ต่ำ ระบบควบคุมจะมีผลตอบสนองต่อกระบวนการน้อยตามไปด้วย

เอกสารนี้เป็นเอกสารที่สงวนไว้สำหรับการใช้งานเพื่อการศึกษาเท่านั้น ไม่อนุญาตให้นำไปใช้ประโยชน์ด้านการค้าไม่ว่ากรณีใดๆทั้งสิ้น อีกทั้งห้ามมิให้ตัดแปลงเนื้อหา และต้องอ้างอิงถึงเจ้าของเอกสารทุกครั้งที่มีการนำไปใช้



รูปที่ 2.29 กราฟ PV ต่อเวลา, K_p กำหนดเป็น 3 ค่า (K_i และ K_d คงที่)

ปริพันธ์

ผลจากเทอมปริพันธ์ (บางครั้งเรียก Reset) เป็นสัดส่วนของขนาดความผิดพลาด และระยะเวลาของความผิดพลาด ผลรวมของความผิดพลาดในทุกช่วงเวลา (ปริพันธ์ของความผิดพลาด) จะให้ออฟเซตสะสมที่ควรจะเป็นในก่อนหน้า ความผิดพลาดสะสมจะถูกคูณโดยอัตราขยายปริพันธ์ ขนาดของผลของเทอมปริพันธ์จะกำหนดโดยอัตราขยายปริพันธ์, K_i .

เทอมปริพันธ์จะเป็นไปตามสมการ :

$$I_{out} = K_i \int_0^t e(\tau) d\tau$$

เมื่อ

I_{out} : สัญญาณขาออกของเทอมปริพันธ์

K_i : อัตราขยายปริพันธ์, ตัวแปรปรับค่าได้

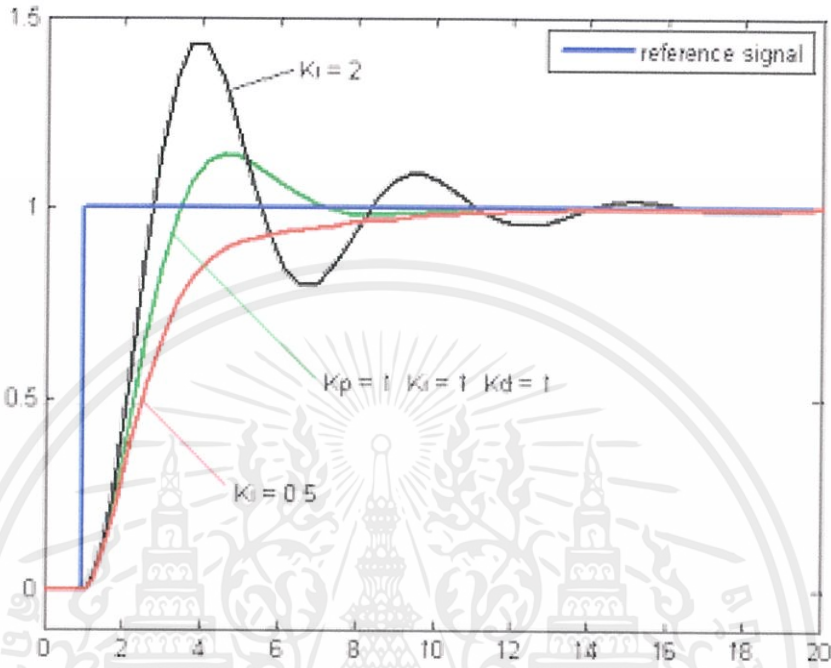
e : ความผิดพลาด = SP - PV

t : เวลา

τ : ตัวแปรปริพันธ์หุ่น

เอกสารนี้เป็นเอกสารที่สงวนไว้สำหรับการศึกษาเท่านั้น ไม่อนุญาตให้นำไปใช้ประโยชน์ด้านการค้า
ไม่ว่ากรณีใดๆทั้งสิ้น อีกทั้งห้ามมิให้คัดลอกเนื้อหา และต้องอ้างอิงถึงเจ้าของเอกสารทุกครั้งที่มีการนำไปใช้

เทอมปริพันธ์ (เมื่อรวมกับเทอมสัดส่วน) จะเร่งกระบวนการให้เข้าสู่จุดที่ต้องการและขจัดความผิดพลาดที่เหลืออยู่ที่เกิดจากการใช้เพียงเทอมสัดส่วน แต่อย่างไรก็ตามเทอมปริพันธ์เป็นการตอบสนองต่อความผิดพลาดสะสมในอดีต จึงสามารถทำให้เกิดโอเวอร์ชูตได้ (ข้ามจุดที่ต้องการและเกิดการหันเหไปทางทิศทางอื่น)



รูปที่ 2.30 กราฟ PV ต่อเวลา, K_i กำหนดเป็นสามค่า (K_p และ K_d คงที่)

อนุพันธ์

อัตราการเปลี่ยนแปลงของความผิดพลาดจากกระบวนการนั้น คำนวณหาจากความชันของความผิดพลาดทุกๆ เวลา (นั่นคือ เป็นอนุพันธ์อันดับหนึ่งสัมพันธ์กับเวลา) และคูณด้วยอัตราขยายอนุพันธ์ K_d ขนาดของผลของเทอมอนุพันธ์ (บางครั้งเรียก อัตรา) ขึ้นกับ อัตราขยายอนุพันธ์ K_d

เทอมอนุพันธ์เป็นไปตามสมการ :

$$D_{out} = K_d \frac{d}{dt} e(t)$$

เมื่อ

D_{out} : สัญญาณขาออกของเทอมอนุพันธ์

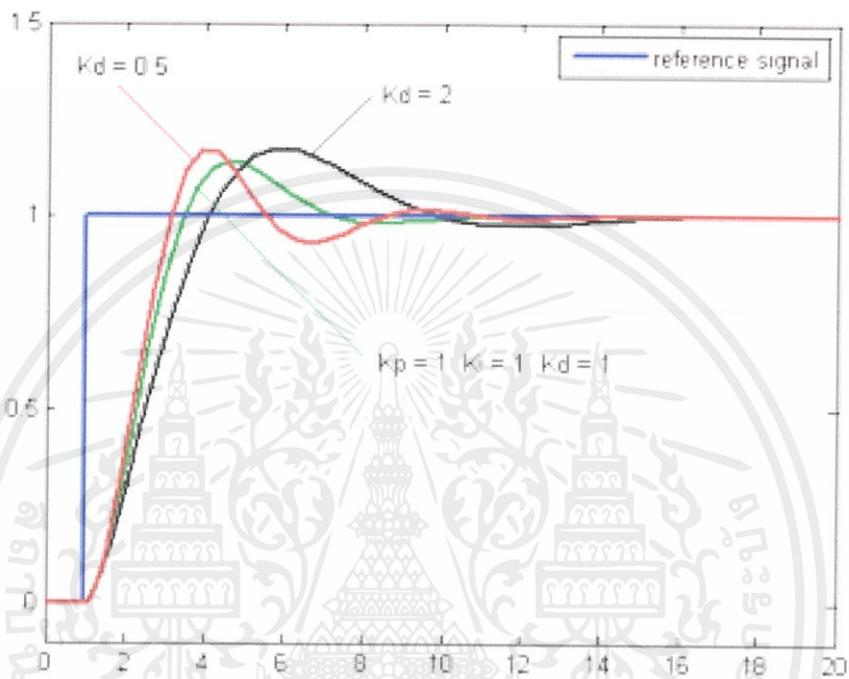
K_d : อัตราขยายอนุพันธ์, ตัวแปรปรับค่าได้

e : ความผิดพลาด = SP - PV

t : เวลา

เอกสารนี้เป็นเอกสารที่สงวนลิขสิทธิ์ของมหาวิทยาลัยเทคโนโลยีพระจอมเกล้าธนบุรี ไม่อนุญาตให้นำไปใช้ประโยชน์ด้านการค้า ไม่ว่ากรณีใดๆทั้งสิ้น อีกทั้งห้ามเผยแพร่ลงเนื้อหา และต้องอ้างอิงถึงเจ้าของเอกสารทุกครั้งที่มีการนำไปใช้

เทอมอนุพันธ์จะชะลออัตราการเปลี่ยนแปลงของสัญญาณขาออกของระบบควบคุม และด้วยผลนี้จะช่วยให้ระบบควบคุมเข้าสู่จุดที่ต้องการ ดังนั้นเทอมอนุพันธ์จะใช้ในการลดขนาดของโอเวอร์ชูตที่เกิดจาเทอมปริพันธ์ และทำให้เสถียรภาพของการรวมกันของระบบควบคุมดีขึ้น แต่อย่างไรก็ตามอนุพันธ์ของสัญญาณรบกวนที่ถูกขยายในระบบควบคุมจะไวมากต่อการรบกวนในเทอมของความผิดพลาด และสามารถทำให้กระบวนการไม่เสถียรได้ถ้าสัญญาณรบกวน และอัตราขยายอนุพันธ์มีขนาดใหญ่เพียงพอ



รูปที่ 2.31 กราฟ PV ต่อเวลา, สำหรับ K_d 3 ค่า (K_p และ K_i คงที่)

ผลรวม

เทอมสัดส่วน, ปริพันธ์, และอนุพันธ์จะนำมารวมกันเป็นสัญญาณขาออกของการควบคุมแบบ PID กำหนดให้ $u(t)$ เป็นสัญญาณขาออก สมการสุดท้ายของวิธี PID คือ :

$$u(t) = MV(t) = K_p e(t) + K_i \int_0^t e(\tau) d\tau + K_d \frac{d}{dt} e(t)$$

รหัสเทียม

รหัสเทียม (อังกฤษ: Pseudocode) ของ ขั้นตอนวิธีระบบควบคุมพีไอดี โดยอยู่บนสมมติฐานว่าตัวประมวลผลแบบขนานอย่างสมบูรณ์แบบ เป็นดังต่อไปนี้

เอกสารนี้เป็นเอกสารที่สงวนไว้สำหรับการใช้งานเพื่อการศึกษาเท่านั้น ไม่อนุญาตให้นำไปใช้ประโยชน์ด้านการค้าไม่ว่ากรณีใดๆทั้งสิ้น อีกทั้งห้ามมิให้ตัดแปลงเนื้อหา และต้องอ้างอิงถึงเจ้าของเอกสารทุกครั้งที่มีการนำไปใช้

```

previous_error = setpoint - actual_position
integral = 0
start:
error = setpoint - actual_position
integral = integral + (error*dt)
derivative = (error - previous_error)/dt
output = (Kp*error) + (Ki*integral) + (Kd*derivative)
previous_error = error
wait(dt)
goto start

```

การปรับจูน

การปรับจูนด้วยมือ

ถ้าระบบยังคงทำงาน ชั้นแรกให้ตั้งค่า K_i และ K_d เป็นศูนย์ เพิ่มค่า K_p จนกระทั่งสัญญาณขาออกเกิดการแกว่ง (Oscillate) แล้วตั้งค่า K_p ให้เหลือครึ่งหนึ่งของค่าที่ทำให้เกิดการแกว่ง สำหรับการตอบสนองชนิด “Quarter Amplitude Decay” แล้วเพิ่ม K_i จนกระทั่งออฟเซตถูกต้อง ในเวลาที่พอเพียงของกระบวนการ แต่ถ้า K_i มากไปจะทำให้ไม่เสถียร สุดท้ายถ้าต้องการให้เพิ่มค่า K_d จนกระทั่งลูบอยู่ในระดับที่ยอมรับได้ แต่ถ้า K_d มากเกินไปจะเป็นเหตุให้การตอบสนองและโอเวอร์ชูตเกินยอมรับได้ ปกติการปรับจูน PID ถ้าเกิดโอเวอร์ชูตเล็กน้อยจะช่วยให้เข้าสู่จุดที่ต้องการเร็วขึ้น แต่ในบางระบบไม่สามารถยอมให้เกิดโอเวอร์ชูตได้ และถ้าค่า K_p น้อยเกินไปก็จะทำให้เกิดการแกว่ง

เอกสารนี้เป็นเอกสารที่สงวนไว้สำหรับการใช้งานเพื่อการศึกษาเท่านั้น ไม่อนุญาตให้นำไปใช้ประโยชน์ด้านการค้า ไม่ว่ากรณีใดๆทั้งสิ้น อีกทั้งห้ามมิให้ตัดแปลงเนื้อหา และต้องอ้างอิงถึงเจ้าของเอกสารทุกครั้งที่มีการนำไปใช้

ตารางที่ 2.1 การปรับจูนด้วยมือ

ผลของการเพิ่มค่าตัวแปรอย่างอิสระ

ตัวแปร	ช่วงเวลาขึ้น (Rise Time)	โอเวอร์ชูต (Overshoot)	เวลาสู่สมดุล (Settling Time)	ความผิดพลาดสถานะคงตัว (Steady-state Error)	เสถียรภาพ
K_p	ลด	เพิ่ม	เปลี่ยนแปลงเล็กน้อย	ลด	ลด
K_i	ลด	เพิ่ม	เพิ่ม	ลดลงอย่างมีนัยสำคัญ	ลด
K_d	ลดลงเล็กน้อย	ลดลงเล็กน้อย	ลดลงเล็กน้อย	ตามทฤษฎีไม่มีผล	ดีขึ้นถ้า K_d มีค่าน้อย

วิธีการ Ziegler–Nichols

วิธีการนี้นำเสนอโดย John G. Ziegler และ Nathaniel B. Nichols ในคริสต์ทศวรรษที่ 1940 ขั้นแรกให้ตั้งค่า K_i และ K_d เป็นศูนย์ เพิ่มอัตราขยาย P สูงที่สุด, K_u , จนกระทั่งเริ่มเกิดการแกว่ง นำค่า K_u และค่าช่วงการแกว่ง P_u มาหาค่าตัวแปรที่เหลือดังตาราง :

เอกสารนี้เป็นเอกสารที่สงวนไว้สำหรับการใช้งานเพื่อการศึกษาเท่านั้น ไม่อนุญาตให้นำไปใช้ประโยชน์ด้านการค้าไม่ว่ากรณีใดๆทั้งสิ้น อีกทั้งห้ามมิให้ตัดแปลงเนื้อหา และต้องอ้างอิงถึงเจ้าของเอกสารทุกครั้งที่มีการนำไปใช้

ตารางที่ 2.2 วิธีการ Ziegler–Nichols

Ziegler–Nichols Method

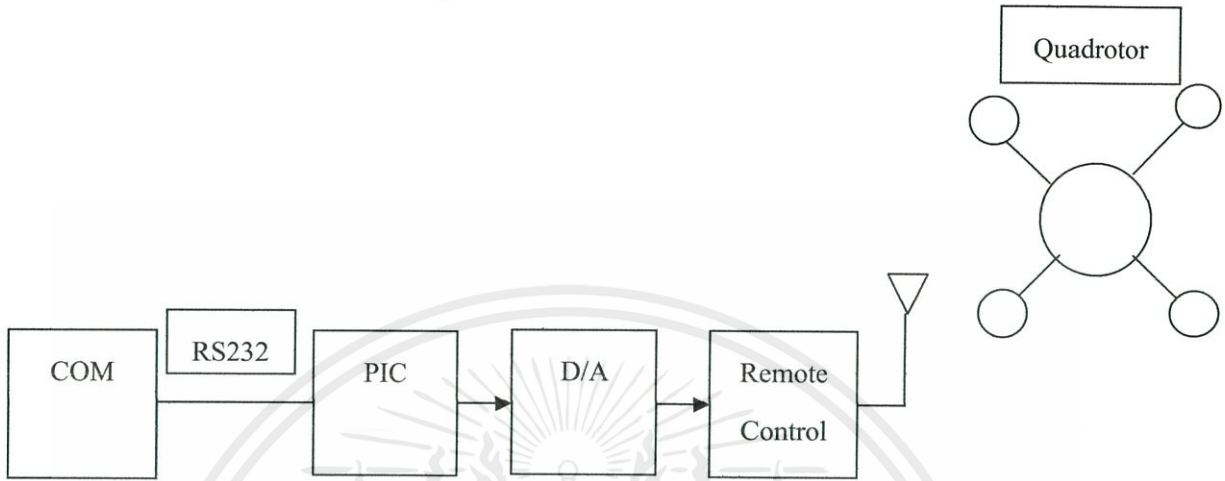
Control Type	K_p	K_i	K_d
P	$0.50K_u$	-	-
PI	$0.45K_u$	$1.2K_p/P_u$	-
PID	$0.60K_u$	$2K_p/P_u$	$K_pP_u/8$

เอกสารนี้เป็นเอกสารที่สงวนไว้สำหรับการใช้งานเพื่อการศึกษาเท่านั้น ไม่อนุญาตให้นำไปใช้ประโยชน์ด้านการค้า ไม่ว่ากรณีใดๆทั้งสิ้น อีกทั้งห้ามมิให้คัดแปลงเนื้อหา และต้องอ้างอิงถึงเจ้าของเอกสารทุกครั้งที่มีการนำไปใช้

บทที่ 3

การออกแบบและควบคุม

3.1 การออกแบบระบบควบคุม

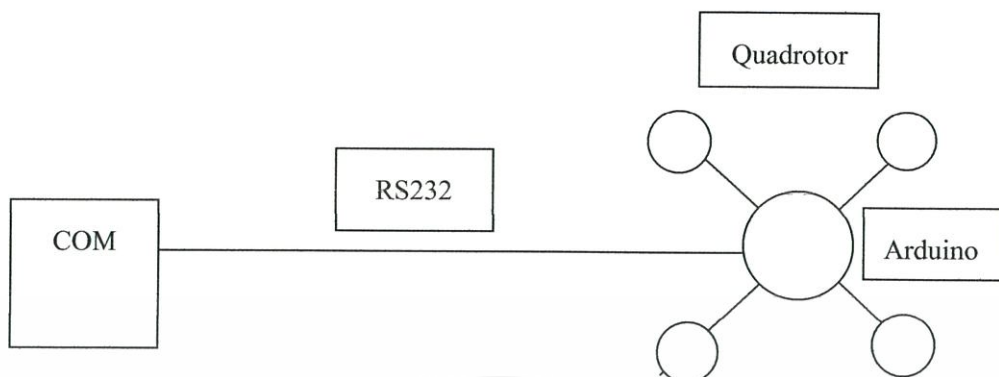


รูปที่ 3.1 การควบคุมผ่านสาย RS232

การควบคุมจะใช้การส่งข้อมูลโดยการป้อนคำสั่งจากคอมพิวเตอร์ผ่านสาย RS232 ไปยัง PIC เมื่อตัว PIC ได้รับสัญญาณคำสั่งอินพุตจากคอมพิวเตอร์ แล้วจะดำเนินการส่งสัญญาณเอาต์พุตจากคำสั่งที่ได้รับ โดยผ่านการแปลงสัญญาณดิจิทัลเป็นอนาล็อก (DAC) ก่อน เพื่อจะได้สัญญาณที่เป็นอนาล็อกตามที่ต้องการ เพราะสัญญาณอนาล็อกจะให้กราฟที่มีความราบรื่นและต่อเนื่องมากกว่ากราฟแบบดิจิทัลที่เป็นค่าขึ้นลง 0-1 เป็นขั้นบันได เพราะจะทำให้ Quadrotor เคลื่อนที่ไม่ราบรื่นตามต้องการ หลังจากนั้นสัญญาณจะถูกส่งไปควบคุมรีโมทคอนโทรล รีโมทคอนโทรลก็จะส่งสัญญาณเป็นคลื่นความถี่ที่กำหนดไปยัง Quadrotor เพื่อควบคุมตัวอากาศยานตามโค้ดข้อมูลคำสั่ง แต่เราพบปัญหาเกิดขึ้นจากการทดลอง พบว่าไม่สามารถควบคุมการทำงานได้อย่างที่ต้องการ เพราะสัญญาณที่ถูกส่งไปยัง Quadrotor ไม่มีการป้อนค่ากลับ ทำให้ไม่ทราบตัว Quadrotor ว่ามันบินขึ้นได้ตรงหรือไม่ ทำมุมอย่างไร ไม่สามารถตรวจสอบได้ จึงเป็นปัญหาในการควบคุม ทำให้การควบคุมการทำงานไม่มีประสิทธิภาพเพียงพอ และอีกทั้งไม่ทราบว่าในขณะที่ทำการใช้งานอยู่ ตัว Quadrotor อยู่ในตำแหน่งที่ต้องการหรือไม่ เพราะไม่มีเซนเซอร์ในการตรวจสอบพิกัดตำแหน่ง จากการทดลองนี้จึงได้ออกแบบตัวควบคุมใหม่ โดยออกแบบบอร์ดควบคุมใหม่ โดยเพิ่มเซนเซอร์เพื่อวัดตำแหน่งในที่ที่ Quadrotor เคลื่อนที่ไป และต่อสาย USB To UART Cable pl2303 HX ผ่านช่อง Tx และ Rx เพื่อรับส่งข้อมูล ทำให้แก้ปัญหาการตรวจสอบพิกัดตำแหน่งและการไม่มีข้อมูลป้อนกลับได้

เอกสารนี้เป็นเอกสารที่สงวนไว้สำหรับการใช้งานเพื่อการศึกษาเท่านั้น ไม่อนุญาตให้นำไปใช้ประโยชน์ด้านการค้า ไม่ว่าจะกรณีใดๆทั้งสิ้น อีกทั้งห้ามมิให้คัดลอกเนื้อหา และต้องอ้างอิงถึงเจ้าของเอกสารทุกครั้งที่มีการนำไปใช้

3.2 การแก้ไขการออกแบบระบบควบคุม (ครั้งที่ 1)

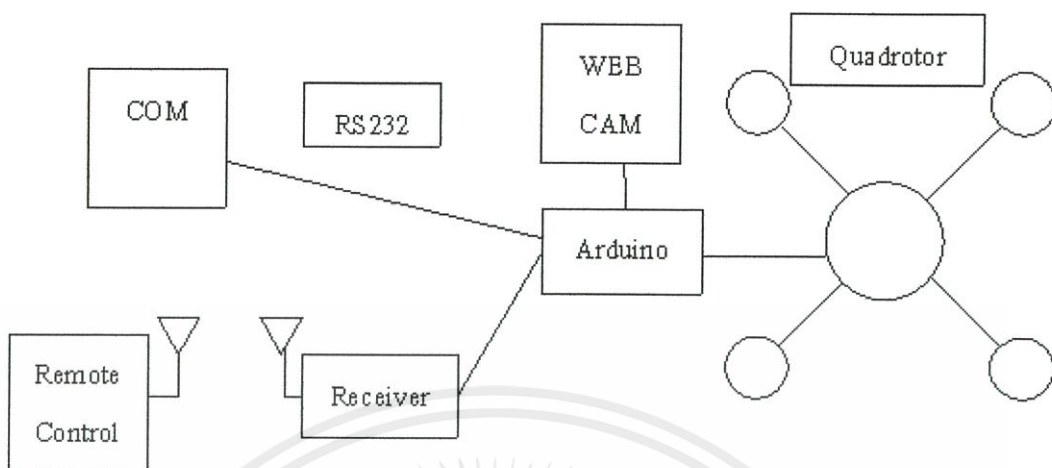


รูปที่ 3.2 การควบคุมผ่านสาย RS232 ไปยัง Quadrotor โดยตรง

การออกแบบแก้ไขระบบควบคุม ทำการแก้ไขระบบควบคุมโดยส่งข้อมูลคำสั่งจากคอมพิวเตอร์ผ่าน RS232 ที่พอร์ต Tx และ Rx บนบอร์ด Arduino UNO R3 เพื่อทำการรับและส่งข้อมูลผ่านได้โดยตรง โดยใช้สาย USB To UART Cable pl2303 HX ทำให้มีการส่งข้อมูลไปยังบอร์ด Arduino UNO R3 ที่ควบคุมตัวอากาศยาน นอกจากนี้ยังเพิ่ม Ultrasonic Sensor เพื่อใช้ในการวัดระยะความสูงของ Quadrotor และระบุพิกัดตำแหน่งของ Quadrotor อีกด้วย จากการป้อนข้อมูลคำสั่งผ่านสาย USB To UART Cable pl2303 HX ผ่านพอร์ต Tx และ Rx บนบอร์ด Arduino UNO R3 จะทำการควบคุมความเร็วของมอเตอร์แต่ละตัวให้มีความเร็วเท่ากันในการยกตัว Quadrotor ขึ้น และปรับค่าความเร็วของมอเตอร์แต่ละตัวให้เหมาะสมกับการเคลื่อนที่ เช่น การเคลื่อนที่ไปทางซ้าย ขวา หน้าและหลัง รวมทั้งควบคุมความเร่งของ Quadrotor ผ่านโค้ดข้อมูลคำสั่งของโปรแกรม และ Ultrasonic Sensor จะคอยตรวจสอบระยะของการเคลื่อนที่ และตำแหน่งของ Quadrotor เพื่อให้ทราบตำแหน่งที่แน่นอน ทำให้สามารถควบคุมได้อย่างมีประสิทธิภาพมากขึ้น

เอกสารนี้เป็นเอกสารที่สงวนไว้สำหรับการใช้งานเพื่อการศึกษาเท่านั้น ไม่อนุญาตให้นำไปใช้ประโยชน์ด้านการค้า ไม่ว่ากรณีใดๆทั้งสิ้น อีกทั้งห้ามมิให้ตัดแปลงเนื้อหา และต้องอ้างอิงถึงเจ้าของเอกสารทุกครั้งที่มีการนำไปใช้

3.3 การแก้ไขออกแบบระบบควบคุม (ครั้งที่ 2)

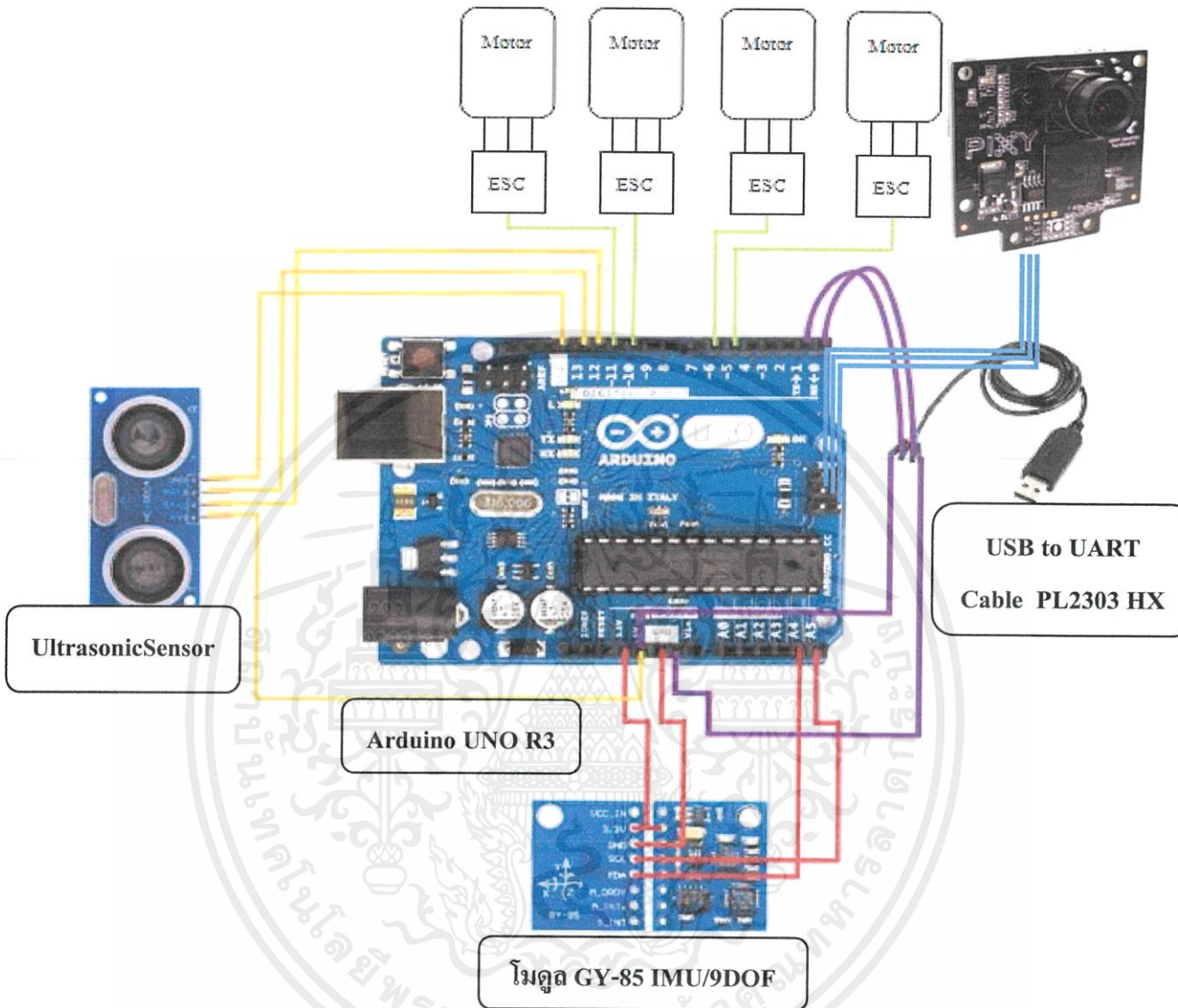


รูปที่ 3.3 แก้ไขการควบคุม Quadrotor

การออกแบบนี้ทำการแก้ไขแบบอีกครั้งโดยการออกแบบนี้ จะเปลี่ยนจากการใช้คอมพิวเตอร์เป็นตัวควบคุมอากาศยานมาใช้รีโมทเป็นตัวควบคุมตัวอากาศยาน ส่วนคอมพิวเตอร์จะใช้เป็นตัวช่วยในการควบคุม ทำการติดตั้งกล้อง Web Cam เพิ่มที่ตัวอากาศยาน โดยกล้องตัวนี้จะทำหน้าที่รับภาพที่ตัวอากาศยานเคลื่อนที่ผ่านและจะส่งข้อมูลผ่าน RS232 มาแสดงที่คอมพิวเตอร์ทำให้สามารถทราบตำแหน่งของตัวอากาศยานได้ ในการบังคับใช้รีโมทเป็นตัวบังคับอากาศยาน โดยรีโมทจะส่งสัญญาณไปยังตัวรับ Receiver ตัว Receiver เมื่อได้รับสัญญาณก็จะทำการส่งสัญญาณไปควบคุมมอเตอร์โดยผ่านบอร์ด Arduino อีกที แบบที่ได้รับการแก้ไขนี้ทำให้สามารถควบคุมตัวอากาศยานได้ง่ายขึ้น

เอกสารนี้เป็นเอกสารที่สงวนไว้สำหรับการใช้งานเพื่อการศึกษาเท่านั้น ไม่อนุญาตให้นำไปใช้ประโยชน์ด้านการค้า ไม่ว่ากรณีใดๆทั้งสิ้น อีกทั้งห้ามมิให้ตัดแปลงเนื้อหา และต้องอ้างอิงถึงเจ้าของเอกสารทุกครั้งที่มีการนำไปใช้

3.4 การต่ออุปกรณ์ควบคุมตัว Quadrotor กับบอร์ด Arduino UNO R3



รูปที่ 3.4 วงจรควบคุมตัว Quadrotor

1. ต่อ Motor และ ESC เข้ากับบอร์ด Arduino UNO ที่พอร์ต PWM ที่ขา 5, 6, 10, 11
2. ต่อ Ultrasonic Sensor เข้ากับบอร์ด Arduino UNO ที่ขา 12, 13, 5V, GND
3. ต่อโมดูล GY-85 IMU/9DOF เข้ากับบอร์ด Arduino UNO ที่ขา 3.3V, GND, A4, A5
4. ต่อ USB To UART Cable PL2303 HX เข้ากับบอร์ด Arduino UNO ที่ขา Tx, Rx, 5V, GND
5. ต่อกล้องเซนเซอร์ตรวจจับวัตถุ (PIXY CMU Cam5) ต่อกับพอร์ต ICSP

เอกสารนี้เป็นเอกสารที่สงวนไว้สำหรับการใช้งานเพื่อการศึกษาเท่านั้น ไม่อนุญาตให้นำไปใช้ประโยชน์ด้านการค้า ไม่ว่ากรณีใดๆทั้งสิ้น อีกทั้งห้ามมิให้คัดแปลงเนื้อหา และต้องอ้างอิงถึงเจ้าของเอกสารทุกครั้งที่มีการนำไปใช้

บทที่ 4

ผลการทดลอง

4.1 การควบคุม Servo Motor

ความเร็วรอบของ Brushless Motor จะเป็นการกำหนดทิศทางการเคลื่อนที่ของ Quadrotor โดยเริ่มแรกทำการจำลองทิศทางการเคลื่อนที่โดยใช้ Servo Motor ตามรูปที่ 4.1



รูปที่ 4.1 Servo Motor ที่ใช้ทดสอบ

โดยในการควบคุมจะอาศัยค่าสัญญาณพัลส์ ที่ส่งออกมาจากรีซีพเวอร์เป็นตัวควบคุมการหมุนของ Servo Motor โดยเซอร์โวที่ใช้มีองศาในการหมุน 0 ถึง 180 องศา

ในการควบคุมการหมุนของเซอร์โวจะขึ้นอยู่กับค่าสัญญาณพัลส์ที่เพิ่มขึ้นหรือลดลง โดยจะกำหนดทิศทางการหมุนของเซอร์โว ดังตารางที่ 4.1

ตารางที่ 4.1 ทิศทางหมุนของเซอร์โวตามค่าสัญญาณพัลส์

เซอร์โวมอเตอร์	ทิศการหมุนตามค่าสัญญาณพัลส์	
	เพิ่มขึ้น	ลดลง
ซ้ายบน	180 ไป 0 องศา	0 ไป 180 องศา
ขวาบน	0 ไป 180 องศา	180 ไป 0 องศา
ซ้ายล่าง	0 ไป 180 องศา	180 ไป 0 องศา
ขวาล่าง	180 ไป 0 องศา	0 ไป 180 องศา

เอกสารนี้เป็นเอกสารที่สงวนไว้สำหรับการใช้งานเพื่อการศึกษาเท่านั้น ไม่อนุญาตให้นำไปใช้ประโยชน์ด้านการค้าไม่ว่ากรณีใดๆทั้งสิ้น อีกทั้งห้ามมิให้คัดลอกเนื้อหา และต้องอ้างอิงถึงเจ้าของเอกสารทุกครั้งที่มีการนำไปใช้

เมื่อทำการโยกคันบังคับ THROTTLE, ROLL, PITCH และ YAW ค่าสัญญาณพัลส์ของเซอร์โวมอเตอร์แต่ละตัวจะมีค่าเพิ่มขึ้น (+) หรือลดลง (-) ตามตารางที่ 4.2

ตารางที่ 4.2 ค่ามอเตอร์ตามการควบคุม

	ซ้ายบน	ขวาบน	ซ้ายล่าง	ขวาล่าง
THROTTLE UP	+	+	+	+
THROTTLE DOWN	-	-	-	-
ROLL RIGHT	+	-	+	-
ROLL LEFT	-	+	-	+
PITCH UP	-	-	+	+
PITCH DOWN	+	+	-	-
YAW RIGHT	-	+	+	-
YAW LEFT	+	-	-	+

ค่าการหมุนของ Gyro กับค่า Accel จะมีค่าเพิ่มขึ้น (+) หรือลดลง (-) เกิดจากการเอียงตัวของตัวอากาศยานที่เคลื่อนที่จากการควบคุม ตามตารางที่ 4.3

ตารางที่ 4.3 ค่าเซนเซอร์ตามการควบคุม

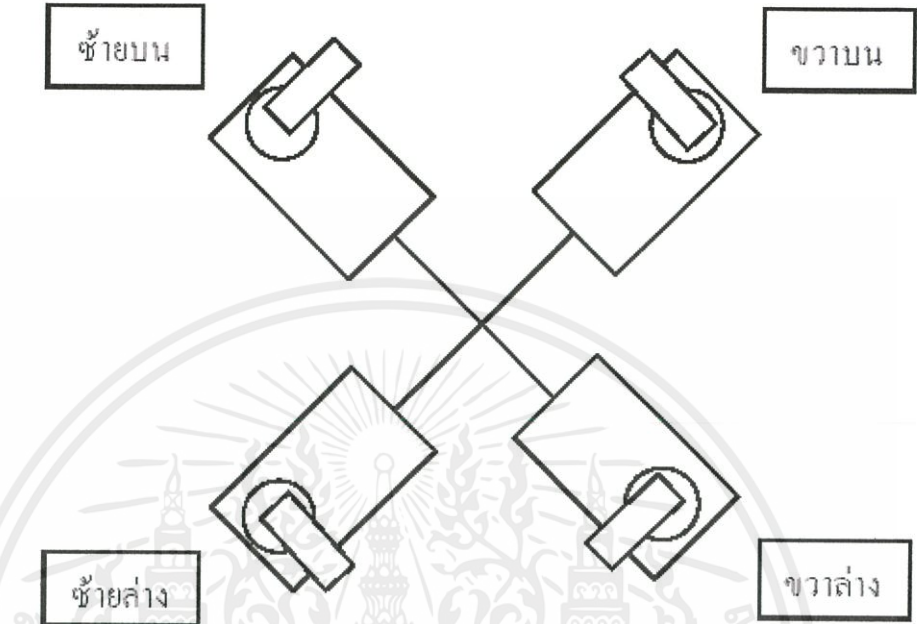
เซนเซอร์	ROLL		PITCH		YAW	
	RIGHT	LEFT	UP	DOWN	RIGHT	LEFT
GyroX	คงที่	คงที่	-	+	คงที่	คงที่
GyroY	+	-	คงที่	คงที่	คงที่	คงที่
GyroZ	คงที่	คงที่	คงที่	คงที่	-	+
AccX	+	-	คงที่	คงที่	คงที่	คงที่
AccY	คงที่	คงที่	-	+	คงที่	คงที่

เอกสารนี้เป็นเอกสารที่สงวนไว้สำหรับการใช้งานเพื่อการศึกษาเท่านั้น ไม่อนุญาตให้นำไปใช้ประโยชน์ด้านการค้าไม่ว่ากรณีใดๆทั้งสิ้น อีกทั้งห้ามมิให้คัดแปลงเนื้อหา และต้องอ้างอิงถึงเจ้าของเอกสารทุกครั้งที่มีการนำไปใช้

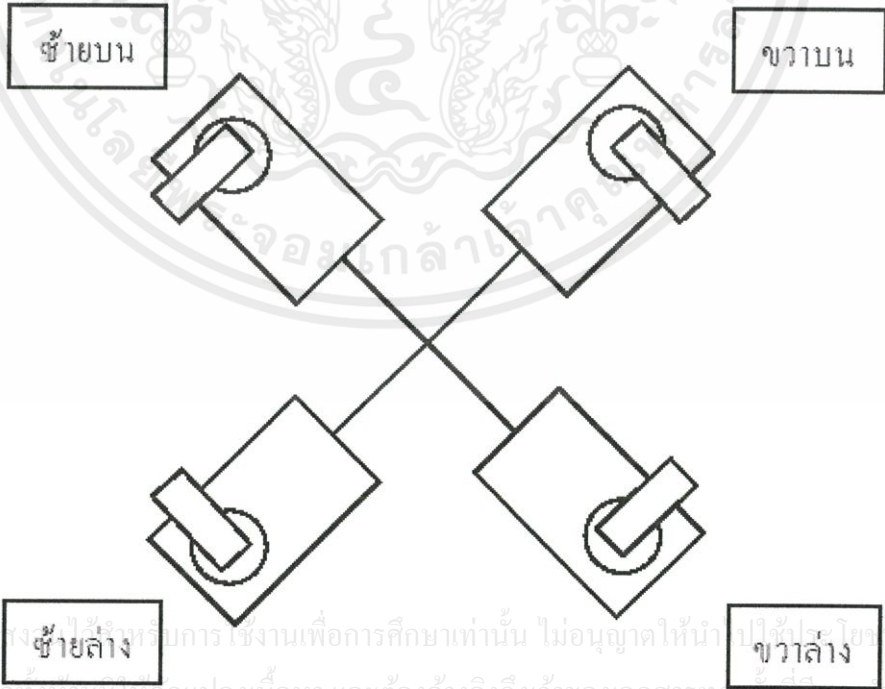
ซึ่งเซอร์โวแต่ละตัวจะทำงานตามตารางที่ 4.2 ดังนี้

4.1.1 THROTTLE

เมื่อทำการโยก THROTTLE เซอร์โวจะมีทิศทางการหมุน ดังรูปที่ 4.2 และรูปที่ 4.3



รูปที่ 4.2 เมื่อโยก THROTTLE UP

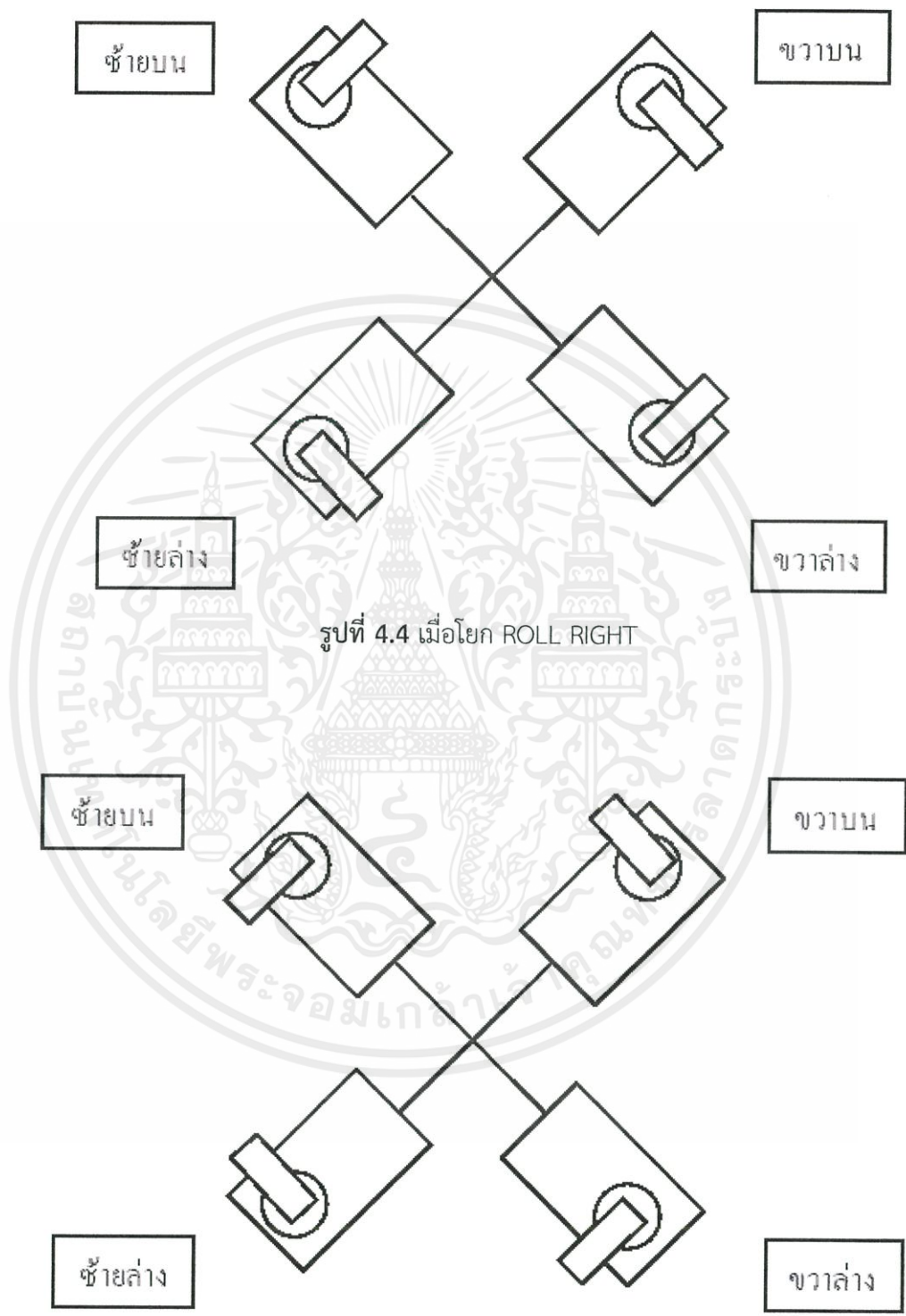


รูปที่ 4.3 เมื่อโยก THROTTLE DOWN

เอกสารนี้เป็นเอกสารที่สงวนลิขสิทธิ์สำหรับการใช้งานเพื่อการศึกษาเท่านั้น ไม่อนุญาตให้นำไปใช้ประโยชน์ด้านการค้าไม่ว่ากรณีใดๆทั้งสิ้น อีกทั้งห้ามเผยแพร่ลงเนื้อหา และต้องอ้างอิงถึงเจ้าของเอกสารทุกครั้งที่มีการนำไปใช้

4.1.2 ROLL

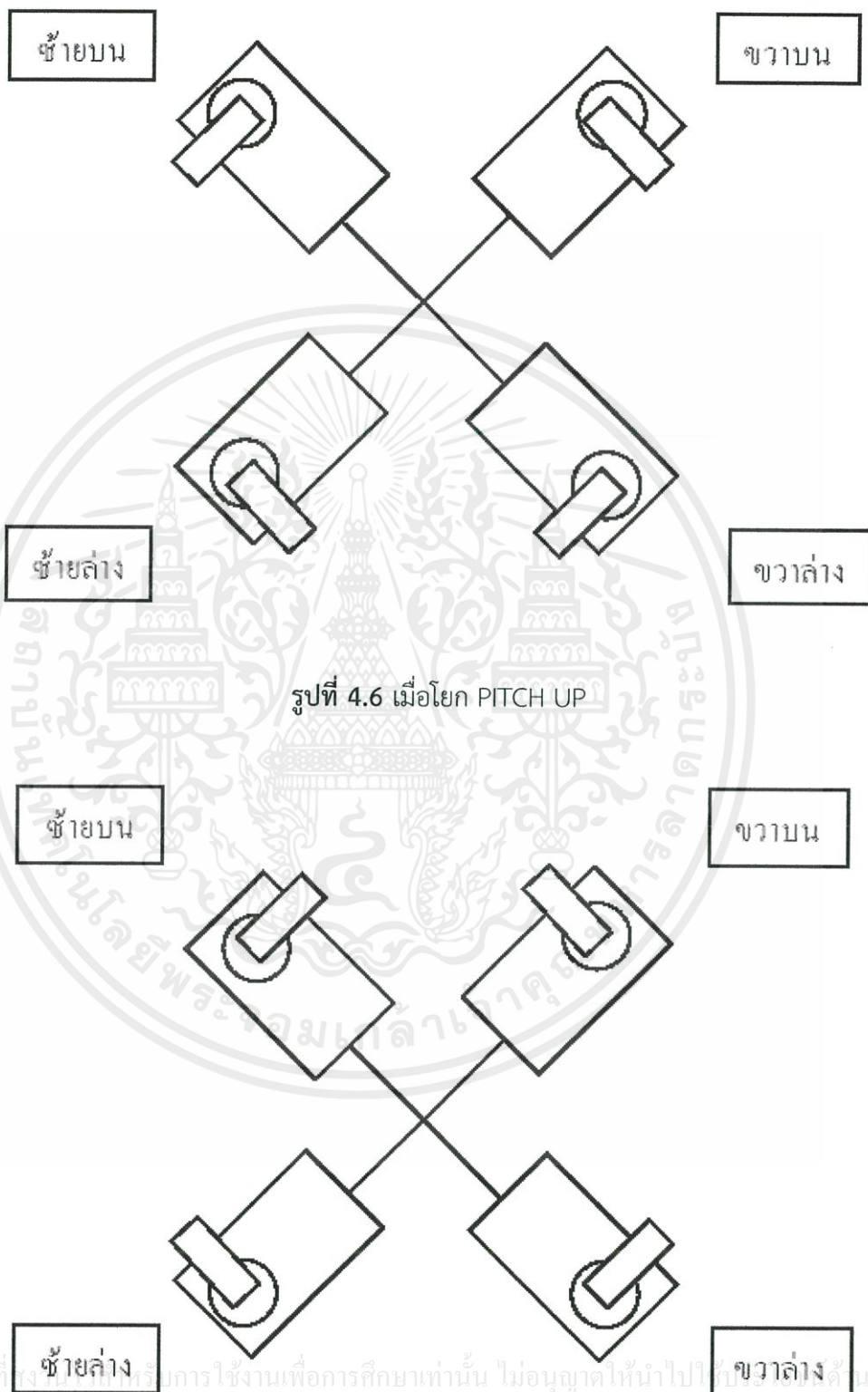
เมื่อทำการโยกคันโยก ROLL เซอร์โวจะมีทิศทางหมุน ดังรูปที่ 4.4 และรูปที่ 4.5



เอกสารนี้เป็นเอกสารที่สงวนไว้สำหรับการใช้งานรูปที่ 4.5 เมื่อโยก ROLL LEFT คิให้นำไปใช้ประโยชน์ด้านการค้าไม่ว่ากรณีใดๆทั้งสิ้น อีกทั้งห้ามมิให้คัดแปลงเนื้อหา และต้องอ้างอิงถึงเจ้าของเอกสารทุกครั้งที่มีการนำไปใช้

4.1.3 PITCH

เมื่อทำการโยกคั่นโยก PITCH เซอร์โวจจะมีทิศหมุน ดังรูปที่ 4.6 และรูปที่ 4.7

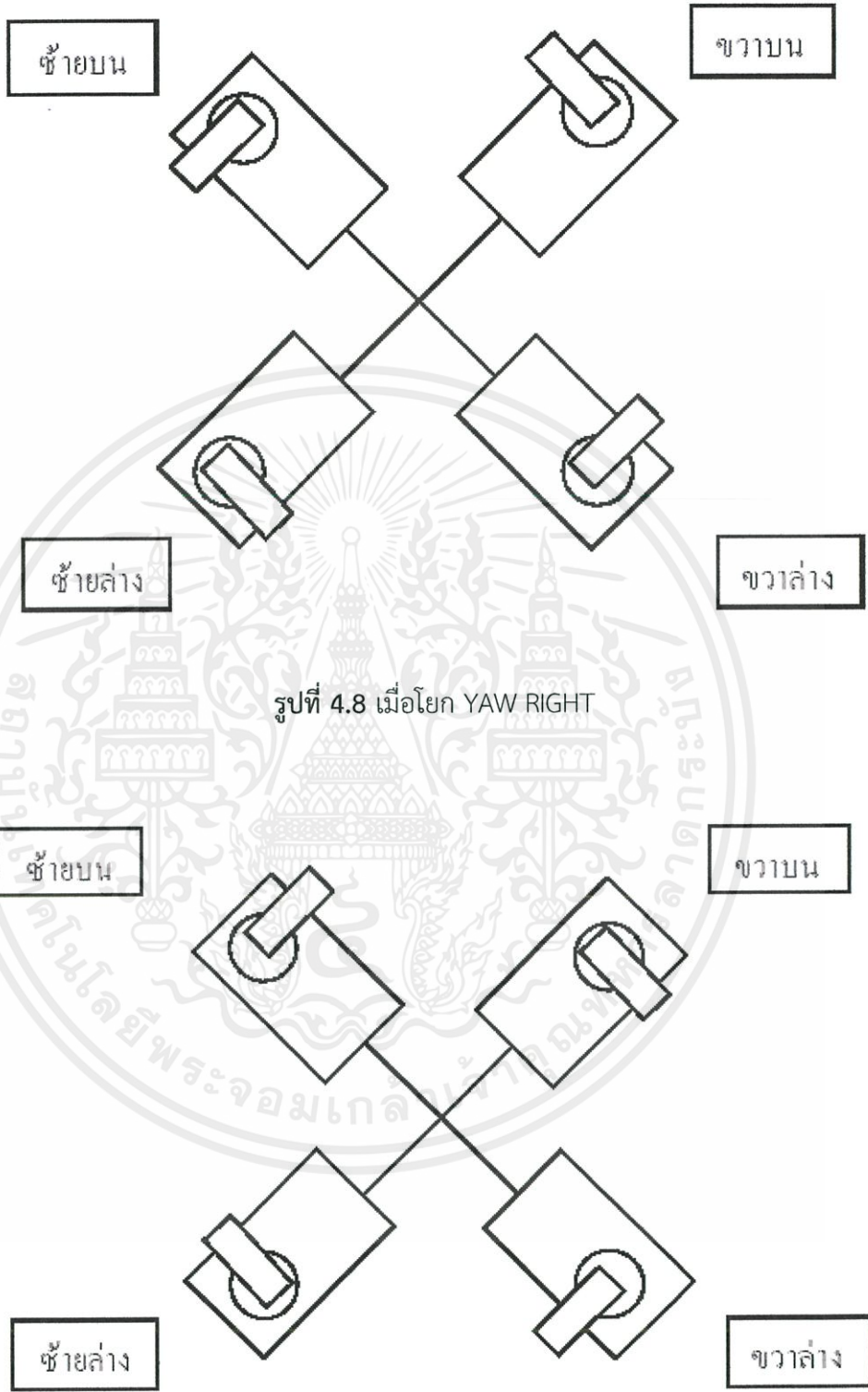


เอกสารนี้เป็นเอกสารที่สงวนลิขสิทธิ์การใช้งานเพื่อการศึกษาเท่านั้น ไม่อนุญาตให้นำไปใช้เพื่อการค้า
ไม่ว่ากรณีใดๆทั้งสิ้น อีกทั้งห้ามมิให้คัดแปลงเนื้อหา และต้องอ้างอิงถึงเจ้าของเอกสารทุกครั้งที่มีการนำไปใช้

รูปที่ 4.7 เมื่อโยก PITCH DOWN

4.1.4 YAW

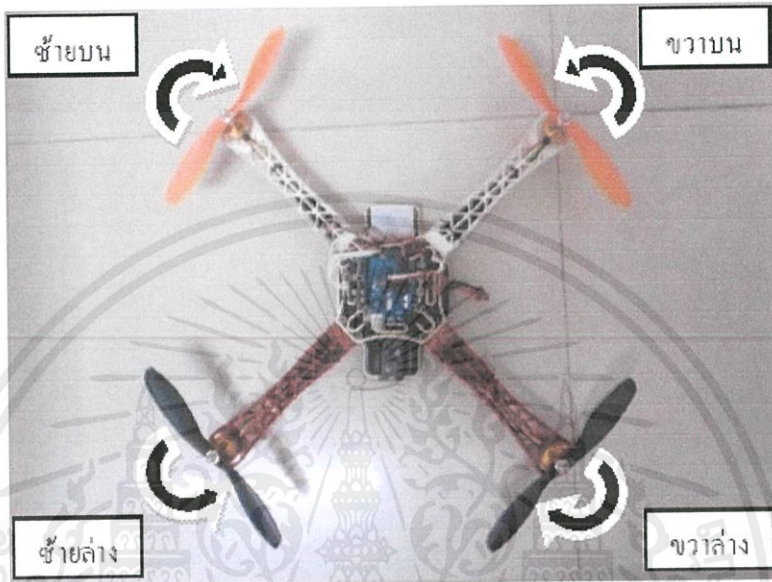
เมื่อโยกคันโยก YAW เซอร์โวจะมีทิศหมุน ดังรูปที่ 4.8 และรูปที่ 4.9



เอกสารนี้เป็นเอกสารที่สงวนไว้สำหรับการใช้งานเพื่อการศึกษาเท่านั้น ไม่สามารถนำไปใช้ประโยชน์ด้านการค้า
ไม่ว่ากรณีใดๆทั้งสิ้น อีกทั้งห้ามมิให้คัดแปลงเนื้อหา และต้องอ้างอิงถึงเจ้าของเอกสารทุกครั้งที่มีการนำไปใช้

4.2 การควบคุมบัสเลสมอเตอร์

หลังจากที่ได้ทำการจำลองการทำงานด้วยเซอร์โวแล้ว จะทำการนำโค้ดมาปรับใช้ในการควบคุมบัสเลสมอเตอร์ ซึ่งในการควบคุมจะใช้รีซีฟเวอร์ที่ส่งค่าสัญญาณพัลส์ออกมาใช้ในการควบคุม โดยความเร็วของมอเตอร์แต่ละตัวที่จะเป็นตัวกำหนดการเคลื่อนที่ของตัวคอปเตอร์ จะขึ้นอยู่กับการโยกคันบังคับของรีโมทคอนโทรลการหมุนของมอเตอร์ทั้ง 4 ตัว จะแสดงดังรูปที่ 4.10



รูปที่ 4.10 การทำงานของบัสเลสมอเตอร์

4.3 ตรวจสอบค่า Gyro และ Accelerometer และหาค่า Offset เริ่มต้น

ทำการตรวจสอบเซนเซอร์หาทิศทางการหมุนของ Gyro กับ Accel ดังรูปที่ 4.11 และรูปที่ 4.12

```
Gyro(degree/s): 0.00, 0.00, -0.07
Temperature: 29.00
Gyro(degree/s): 0.00, 0.07, 0.00
Temperature: 29.00
Gyro(degree/s): 0.00, 0.07, 0.00
Temperature: 29.00
Gyro(degree/s): 0.00, 0.07, 0.00
Temperature: 29.00
Gyro(degree/s): 0.00, 0.00, 0.00
Temperature: 29.00
Gyro(degree/s): 0.00, 0.00, -0.07
Temperature: 29.00
Gyro(degree/s): 0.00, 0.00, 0.00
Temperature: 29.00
Gyro(degree/s): 0.00, 0.07, -0.07
Temperature: 29.00
```

เอกสารนี้เป็นเอกสารที่สงวนลิขสิทธิ์ไว้สำหรับใช้ในการศึกษาเท่านั้น ไม่อนุญาตให้นำไปใช้ประโยชน์ด้านการค้า
ไม่ว่ากรณีใดๆทั้งสิ้น อีกทั้งห้ามมิให้คัดลอกเนื้อหา และต้องอ้างอิงถึงเจ้าของเอกสารทุกครั้งที่มีการนำไปใช้

รูปที่ 4.11 การทดสอบ Gyro

```

Connected to ADXL345.
Raw:  8  2  247  Scaled: 0.03G  0.01G  0.96G
Raw:  9  3  247  Scaled: 0.04G  0.01G  0.96G
Raw:  8  2  245  Scaled: 0.03G  0.01G  0.96G
Raw:  9  2  248  Scaled: 0.04G  0.01G  0.97G
Raw:  9  2  247  Scaled: 0.04G  0.01G  0.96G
Raw:  8  3  245  Scaled: 0.03G  0.02G  0.96G
Raw:  8  2  246  Scaled: 0.03G  0.01G  0.96G
Raw:  8  2  246  Scaled: 0.03G  0.01G  0.96G
Raw:  8  2  248  Scaled: 0.03G  0.01G  0.97G
Raw:  8  2  246  Scaled: 0.03G  0.01G  0.96G
Raw:  8  2  246  Scaled: 0.03G  0.01G  0.96G
Raw:  9  2  248  Scaled: 0.04G  0.01G  0.97G
Raw:  9  2  249  Scaled: 0.04G  0.01G  0.97G
Raw: 10  3  248  Scaled: 0.04G  0.01G  0.97G
Raw:  8  2  248  Scaled: 0.03G  0.01G  0.96G
Raw:  9  2  247  Scaled: 0.04G  0.01G  0.96G
Raw:  9  2  246  Scaled: 0.04G  0.01G  0.96G
Raw:  9  2  246  Scaled: 0.04G  0.01G  0.96G

```

รูปที่ 4.12 การทดสอบ Accel

4.3.1 การทดสอบ Gyro

เมื่อทำการทดสอบเมื่อหมุนแกน X แกน Y และแกน Z ค่าของไจโรจะเพิ่มขึ้นหรือลดลงแล้วแต่ทิศทางการหมุน เมื่อหยุดหมุนค่าไจโรจะกลับไปยังค่าศูนย์

4.3.2 การทดสอบ Accelerometer

ค่าของ Accelerometer จะมีค่าเปลี่ยนแปลงตามองศาของแกน X แกน Y และ แกน Z โดยค่าที่มากที่สุดเท่ากับ 1 g โดย 1 g เท่ากับ 9.81 m/s^2

หลังจากทำการทดสอบทิศทางหมุนของ Gyro กับ Accel ทำการหาค่า Offset เริ่มต้นของทั้ง 2 โดยไจโรเมื่อไม่เกิดการหมุนค่า Offset เริ่มต้นเท่ากับ 0 ส่วน Accel ค่าจะเปลี่ยนแปลงตามองศาของแกน

เอกสารนี้เป็นเอกสารที่สงวนไว้สำหรับการใช้งานเพื่อการศึกษาเท่านั้น ไม่อนุญาตให้นำไปใช้ประโยชน์ด้านการค้า ไม่ว่ากรณีใดๆทั้งสิ้น อีกทั้งห้ามมิให้คัดลอกเนื้อหา และต้องอ้างอิงถึงเจ้าของเอกสารทุกครั้งที่มีการนำไปใช้

บทที่ 5

บทสรุปและข้อเสนอแนะ

5.1 สรุปผลการทดลอง

การทดลองนี้ทำการออกแบบระบบควบคุมอากาศยาน โดยโปรแกรมที่ใช้เขียนภาษาซี คือ โปรแกรมอาดูโนว์ ซึ่งการดำเนินงานมีดังนี้

1. ทำการออกแบบระบบการทำงานของตัวอากาศยาน โดยในการออกแบบต้องทำการออกแบบระบบที่เป็นตัวควบคุมอากาศยานก่อน โดยจะทำการเลือกบอร์ดอาดูโนว์และเซนเซอร์ที่เหมาะสมกับแบบที่ได้ออกแบบ

2. ทำการต่อวงจรตามแบบที่ได้ออกแบบและเขียนโค้ดที่ใช้ในการควบคุม การเขียนโค้ดควบคุมตัวอากาศยานในเริ่มต้นจะต้องเขียนเพื่อให้สามารถควบคุมตัวมอเตอร์ทั้ง 4 ตัวได้ก่อน แล้วจึงทำการเขียนโค้ดเซนเซอร์ IMU

3. ขั้นตอนมาทำการติดตั้งกล่อง PIXY โดยกล่องตัวนี้จะทำการตรวจจับวัตถุสี่เหลี่ยม ซึ่งจะช่วยควบคุม Quadrotor ให้เคลื่อนที่ไปถึงวัตถุนั้นได้ และติดตั้ง Ultrasonic Sensor เพื่อช่วยในการกำหนดวัระยะความสูงซึ่งจะช่วยให้ Quadrotor บินในระดับความสูงที่กำหนดได้

4. ทำการทดสอบและบันทึกผลการทดลอง

5.2 ปัญหาที่พบในการทดลอง

ปัญหาที่พบในการทดลองมีดังนี้

1. เมื่อทำการทดลองมอเตอร์ไม่หมุนตามที่สั่งการด้วยรีซีฟเวอร์
2. เมื่อโยกคันโยกของรีโมทคำสั่งญาณพัลส์ที่เพิ่มขึ้น และลดลงของมอเตอร์แต่ละตัวสลับค่ากัน
3. เซนเซอร์ไม่ตอบสนองต่อคำสั่งในการควบคุมได้ทันที

5.3 ข้อเสนอแนะ

ในการดำเนินงานต้องทำการออกแบบตัวอากาศยานให้เป็นที่เรียบร้อยแล้วก่อน แล้วจึงทำการต่อวงจรและเขียนโค้ดเพื่อควบคุม โดยเริ่มแรกเขียนโค้ดควบคุมมอเตอร์ของตัวอากาศยานก่อน เมื่อมอเตอร์ทำงานแล้วทำการเขียนเซนเซอร์ IMU เพื่อใช้ในการการปรับสมดุลของ Quadrotor ซึ่งจากการทดลองอากาศยานพลิกคว่ำ เนื่องจากเซนเซอร์ไม่สามารถตอบสนองต่อการสั่งงานได้ทันที จึงต้องตรวจสอบเซนเซอร์และทำการเขียนโปรแกรมควบคุมใหม่อีกครั้ง ในการเขียนต้องกลับไปศึกษาการเขียนระบบควบคุมเซนเซอร์และระบบควบคุมอากาศยานให้มีประสิทธิภาพมากขึ้น

เอกสารนี้เป็นเอกสารที่สงวนไว้สำหรับการใช้งานเพื่อการศึกษาเท่านั้น ไม่อนุญาตให้นำไปใช้ประโยชน์ด้านการค้าไม่ว่ากรณีใดๆทั้งสิ้น อีกทั้งห้ามมิให้คัดแปลงเนื้อหา และต้องอ้างอิงถึงเจ้าของเอกสารทุกครั้งที่มีการนำไปใช้

เอกสารอ้างอิง

- [1] GitHub. “QuadTinnakon”[Online].
Available : <https://github.com/QuadTinnakon?tab=repositories>
- [2] Slideshare. “Inertial Measurement Unit” [Online].
Available : <http://www.slideshare.net/hunchxx/inertial-measurement-unit>
- [3] Data_sheets. “ADXL345.pdf” [Online].
Available : http://www.analog.com/static/importedfiles/data_sheets/ADXL345.pdf
- [4] InvenSense. “ITG-3205.pdf.html ” [Online].
Available : <http://www.datasheet-pdf.com/datasheet/InvenSense/731954/ITG-3205.pdf.html>
- [5] Devices. “atmega328p.aspx” [Online].
Available : <http://www.atmel.com/devices/atmega328p.aspx>
- [6] Wikipedia. “Gyroscope” [Online].
Available : th.wikipedia.org/wiki/ไจโรสโคป
- [7] Wikipedia. “PID Control” [Online].
Available : th.wikipedia.org/wiki/ระบบควบคุมพีไอดี
- [8] Control. “รูปแบบปริญญาโท (PDF)”[Online].
Available : <http://www.kmitl.ac.th/control/news.html>

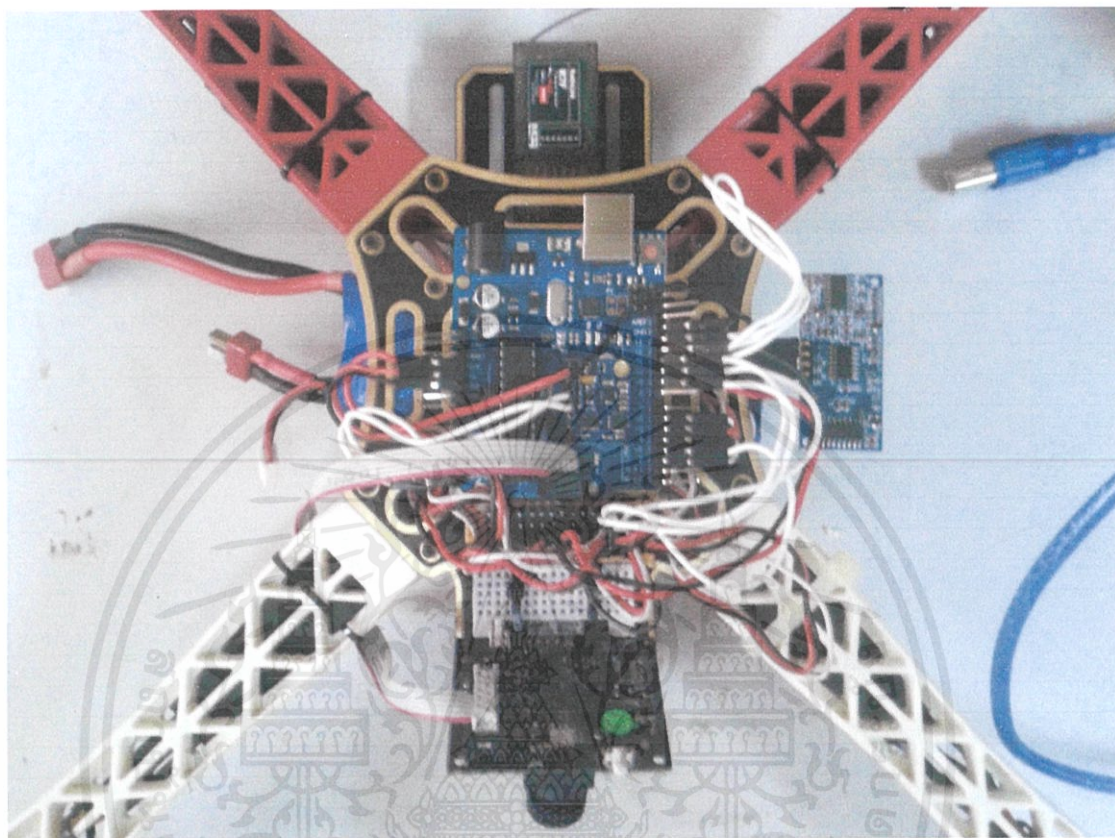
เอกสารนี้เป็นเอกสารที่สงวนไว้สำหรับการใช้งานเพื่อการศึกษาเท่านั้น ไม่อนุญาตให้นำไปใช้ประโยชน์ด้านการค้า
ไม่ว่ากรณีใดๆทั้งสิ้น อีกทั้งห้ามมิให้ตัดแปลงเนื้อหา และต้องอ้างอิงถึงเจ้าของเอกสารทุกครั้งที่มีการนำไปใช้



ภาคผนวก

เอกสารนี้เป็นเอกสารที่สงวนไว้สำหรับการใช้งานเพื่อการศึกษาเท่านั้น ไม่อนุญาตให้นำไปใช้ประโยชน์ด้านการค้า
ไม่ว่ากรณีใดๆทั้งสิ้น อีกทั้งห้ามมิให้ตัดแปลงเนื้อหา และต้องอ้างอิงถึงเจ้าของเอกสารทุกครั้งที่มีการนำไปใช้

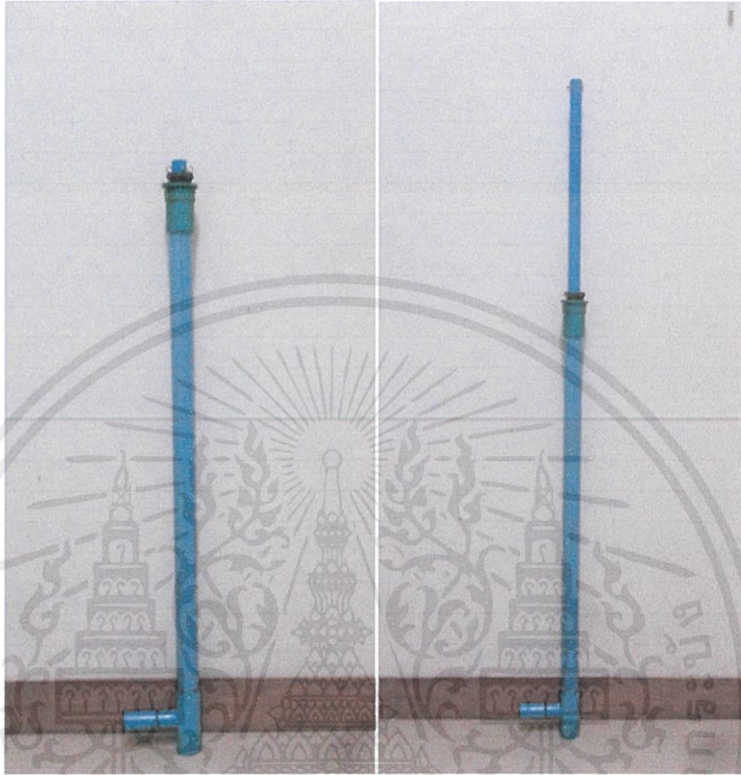
ภาคผนวก ก วงจรที่ประกอบ



รูปที่ ก.1 วงจรที่ประกอบตามแบบ

เอกสารนี้เป็นเอกสารที่สงวนไว้สำหรับการใช้งานเพื่อการศึกษาเท่านั้น ไม่อนุญาตให้นำไปใช้ประโยชน์ด้านการค้า
ไม่ว่ากรณีใดๆทั้งสิ้น อีกทั้งห้ามมิให้คัดแปลงเนื้อหา และต้องอ้างอิงถึงเจ้าของเอกสารทุกครั้งที่มีการนำไปใช้

ภาคผนวก ข
อุปกรณ์ที่ใช้ในการทดสอบตัวอากาศยาน



รูปที่ ข.1 อุปกรณ์ทดสอบ

ในการทดสอบจะใช้อุปกรณ์ตามรูปที่ ข.1 ในการทดสอบจะยึดตัวอากาศยานไว้บนสุดของอุปกรณ์ที่ทำจากท่อพีวีซี ซึ่งท่อที่ใช้สามารถเลื่อนขึ้นเลื่อนลงได้ทำให้ตรวจสอบได้ว่าอากาศยานสามารถทำงานได้ถูกต้องหรือไม่

เอกสารนี้เป็นเอกสารที่สงวนไว้สำหรับการใช้งานเพื่อการศึกษาเท่านั้น ไม่อนุญาตให้นำไปใช้ประโยชน์ด้านการค้า
ไม่ว่ากรณีใดๆทั้งสิ้น อีกทั้งห้ามมิให้คัดแปลงเนื้อหา และต้องอ้างอิงถึงเจ้าของเอกสารทุกครั้งที่มีการนำไปใช้

ภาคผนวก ค

โค้ดคำสั่งที่ใช้ควบคุม

```
#include <Servo.h>
#include <Wire.h>

#define THROTTLETIMEOUT 25000
#define PULSETIMEOUT 20000

int throttle;
int CH_THR;
int roll;
int CH_AIL;
int pitch;
int CH_ELE;
int yaw;
int CH_RUD;
int uAlitude = 1060;
#define THROTTLEPIN 2
#define ROLLPIN 4
#define PITCHPIN 5
#define YAWPIN 6
#define AUX1PIN 7

#define FRONTMOTOR_L_PIN 3
#define FRONTMOTOR_R_PIN 10
#define REARMOTOR_L_PIN 11
#define REARMOTOR_R_PIN 9

#define ADXL345_Address 0x53
#define ITG3205_Address 0x68
double accXangle = 0;
double accYangle = 0;
double GyroTemp,GyroX,GyroY,GyroZ,AccX,AccY,AccZ;
double GyroX2, GyroY2, GyroZ2, GyroXf, GyroYf, GyroZf;
double AccXf, AccYf, AccZf;
double gyroXtrim = 0,gyroYtrim = 0,gyroZtrim = 0;
double xtrim = 0,ytrim = 0,ztrim = 0;
double gyro_offsetX = 0;
double gyro_offsetY = 0;
double gyro_offsetZ = 0;
double acc_offsetX = 0;
```

เอกสารนี้เป็นเอกสารลิขสิทธิ์ของสถาบันวิจัยและพัฒนาเพื่อการศึกษาเท่านั้น ไม่อนุญาตให้นำไปใช้ประโยชน์ด้านการค้า
ไม่ว่ากรณีใดๆ หากมีข้อผิดพลาด กรุณาแจ้งให้ตัดแปลงเนื้อหา และต้องอ้างอิงถึงเจ้าของเอกสารทุกครั้งที่มีการนำไปใช้

```

double acc_offsetY = 0;
double acc_offsetZ = 0;
double xAngle = 0,yAngle = 0;
#define RAD_TO_DEG 57.295779513082320876798154814105

```

```

#define tar 0.01
#define MINTHROTTLE 1060
#define MAXTHROTTLE 1900
#define MINCHECK 1100
#define MAXCHECK 1900
#define MINCOMMAND 1000
#define MAXCOMMAND 1900

```

```

double K = 1;
double Kp = 1;
double Ki = 1;
double Kd = 1;

```

```

double exInt,eyInt,ezInt;
double q0,q1,q2,q3;
double ahrs_p,ahrs_r,ahrs_y;

```

```

double DCM00 = 0;
double DCM01 = 1;
double DCM02 = 0;
double DCM10 = -1;
double DCM11 = 0;
double DCM12 = 0;
double DCM20 = 0;
double DCM21 = 0;
double DCM22 = 1;
unsigned long sensorPreviousTime = 0;
unsigned long previousTime = 0;
double G_Dt = 0.01;
double Dt_sensor = 1000;
double Dt_roop = 10000;
double sensorsample = 0;

```

```

double roll_I_rate = 0;
double roll_D_rate = 0;
double err_roll_rate = 0;
double err_roll_ant_rate = 0;
double pitch_I_rate = 0;

```

เอกสารนี้เป็นเอกสารที่วางไว้สำหรับการใช้งานเพื่อการศึกษาเท่านั้น ไม่อนุญาตให้นำไปใช้ประโยชน์ด้านการค้า
ไม่ว่ากรณีใดๆ หากมีข้อผิดพลาดประการใดขออภัยเป็นอย่างสูงและต้องอภัยถึงเจ้าของเอกสารทุกครั้งที่มีการนำไปใช้

```

double pitch_D_rate = 0;
double err_pitch_rate = 0;
double err_pitch_ant_rate = 0;
double yaw_I_rate = 0;
double yaw_D_rate = 0;
double err_yaw_rate = 0;
double err_yaw_ant_rate = 0;
double u2_roll = 0;
double u3_pitch = 0;
double u4_yaw = 0;
double accrX_cutg = 0;
double accrY_cutg = 0;
double accrZ_cutg = 0;

```

```

Servo FRONTMOTOR_L;
Servo FRONTMOTOR_R;
Servo REARMOTOR_L;
Servo REARMOTOR_R;

```

```

int motorFONT_L = MINCOMMAND;
int motorFONT_R = MINCOMMAND;
int motorREAR_L = MINCOMMAND;
int motorREAR_R = MINCOMMAND;

```

```

void setup()

```

```
{
```

```
  Serial.begin(115200);
```

```
  RC_Receiver();
```

```
  motor_initialize();
```

```
  Wire.begin();
```

```
  configureReceiver();
```

```
  Accel_init();
```

```
  delay(10);
```

```
  Gyro_init();
```

```
  delay(10);
```

```
  for(int i=0;i<10;i++)
```

```
  {
```

```
    Accel_Read();
```

```
    Gyro_Read();
```

```
    delay(10);
```

```
  }
  sensor_Calibrate();
```

```
  sensorPreviousTime = micros();

```

เอกสารนี้เป็นเอกสารสงวนไว้สำหรับการใช้งานเพื่อการศึกษาเท่านั้น ไม่อนุญาตให้นำไปใช้ประโยชน์ด้านการค้า
ไม่ว่ากรณีใดๆทั้งสิ้น อีกทั้งห้ามมิให้ดัดแปลงเนื้อหา และต้องอ้างอิงถึงเจ้าของเอกสารทุกครั้งที่มีการนำไปใช้

```

    previousTime = micros();
}

void loop()
{
    Dt_sensor = micros() - sensorPreviousTime;
    if(Dt_sensor <= 0)
    {
        Dt_sensor = 1001;
    }
    if(Dt_sensor >= 1000 && sensorsample < 3)
    {
        sensorPreviousTime = micros();
        sensor_Read();
    }
    Dt_roop = micros() - previousTime;
    if(Dt_roop <= 0)
    {
        Dt_roop = 10001;
    }
    if(Dt_roop >= 10000)
    {
        previousTime = micros();
        G_Dt = Dt_roop/1000000;
        sensor_Get();

        GyroXf = (GyroX2 + GyroX)/2;
        GyroYf = (GyroY2 + GyroY)/2;
        GyroZf = (GyroZ2 + GyroZ)/2;
        GyroX2 = GyroX;
        GyroY2 = GyroY;
        GyroZ2 = GyroZ;
        AccXf = AccX;
        AccYf = AccY;
        AccZf = AccZ;

        ahrs_update(GyroXf, GyroYf, GyroZf, AccXf, AccYf, AccZf, G_Dt);
        ahrs_toEuler();

        Control_PIDRate();
    }
    motorFONT_L = uAlitude + u3_pitch + u2_roll - u4_yaw;
    motorFONT_R = uAlitude + u3_pitch - u2_roll + u4_yaw;
}

```

เอกสารนี้เป็นเอกสารที่สงวนไว้สำหรับการใช้งานเพื่อการศึกษาเท่านั้น ไม่อนุญาตให้นำไปใช้ประโยชน์ด้านการค้า
ไม่ว่ากรณีใดๆทั้งสิ้น อีกทั้งห้ามมิให้คัดแปลงเนื้อหา และต้องอ้างอิงถึงเจ้าของเอกสารทุกครั้งที่มีการนำไปใช้

```

motorREAR_L = uAlitude - u3_pitch + u2_roll + u4_yaw;
motorREAR_R = uAlitude - u3_pitch - u2_roll - u4_yaw;

```

```

    motorFONT_L = map(motorFONT_L, MINCOMMAND, MAXCOMMAND, MINTHROTTLE,
MAXCOMMAND);
    motorFONT_R = map(motorFONT_R, MINCOMMAND, MAXCOMMAND, MINTHROTTLE,
MAXCOMMAND);
    motorREAR_L = map(motorREAR_L, MINCOMMAND, MAXCOMMAND, MINTHROTTLE,
MAXCOMMAND);
    motorREAR_R = map(motorREAR_R, MINCOMMAND, MAXCOMMAND, MINTHROTTLE,
MAXCOMMAND);
    motorCommand();
}
}
void RC_Receiver()
{
    pinMode(THROTTLEPIN, INPUT);
    pinMode(ROLLPIN, INPUT);
    pinMode(PITCHPIN, INPUT);
    pinMode(YAWPIN, INPUT);
    pinMode(AUX1PIN, INPUT);
}
void motor_initialize()
{
    FRONTMOTOR_L.attach(FRONTMOTOR_L_PIN);
    FRONTMOTOR_R.attach(FRONTMOTOR_R_PIN);
    REARMOTOR_L.attach(REARMOTOR_L_PIN);
    REARMOTOR_R.attach(REARMOTOR_R_PIN);

    FRONTMOTOR_L.write(MINCOMMAND);
    FRONTMOTOR_R.write(MINCOMMAND);
    REARMOTOR_L.write(MINCOMMAND);
    REARMOTOR_R.write(MINCOMMAND);
}
void motorCommand()
{
    FRONTMOTOR_L.write(motorFONT_L);
    FRONTMOTOR_R.write(motorFONT_R);
    REARMOTOR_L.write(motorREAR_L);
    REARMOTOR_R.write(motorREAR_R);
}

```

เอกสารนี้เป็นทรัพย์สินทางปัญญาของมหาวิทยาลัยเทคโนโลยีพระจอมเกล้าเจ้าคุณทหารลาดกระบัง เพื่อการศึกษาเท่านั้น ไม่อนุญาตให้นำไปใช้ประโยชน์ด้านการค้า
ไม่ว่ากรณีใดๆ ทั้งสิ้น อีกทั้งห้ามมิให้คัดแปลงเนื้อหา และต้องอ้างอิงถึงเจ้าของเอกสารทุกครั้งที่มีการนำไปใช้

```

void Control_PIDRate()
{
    roll = pulseIn(ROLLPIN, HIGH, PULSETIMEOUT);
    CH_AIL = map(roll, 1050, 1950, -200, 200);
    double Set_roll = (CH_AIL*K);
    err_roll_rate = (Set_roll - GyroYf*RAD_TO_DEG);
    roll_I_rate += err_roll_rate*G_Dt;
    roll_D_rate += ((err_roll_rate - err_roll_ant_rate)/G_Dt);
    err_roll_ant_rate = err_roll_rate;
    u2_roll = (Kp*err_roll_rate)+ (Ki*roll_I_rate) + (Kd*roll_D_rate);

    pitch = pulseIn(PITCHPIN, HIGH, PULSETIMEOUT);
    CH_ELE = map(pitch, 1050, 1950, -200, 200);
    double Set_pitch = (CH_ELE*K);
    err_pitch_rate = (Set_pitch - GyroXf*RAD_TO_DEG);
    pitch_I_rate += err_pitch_rate*G_Dt;
    pitch_D_rate += ((err_pitch_rate - err_pitch_ant_rate)/G_Dt);
    err_pitch_ant_rate = err_pitch_rate;
    u3_pitch = (Kp*err_pitch_rate)+ (Ki*pitch_I_rate) + (Kd*pitch_D_rate);

    yaw = pulseIn(YAWPIN, HIGH, PULSETIMEOUT);
    CH_RUD = map(yaw, 1050, 1950, -200, 200);
    double Set_yaw = (CH_RUD*K);
    err_yaw_rate = (Set_yaw - GyroZf*RAD_TO_DEG);
    yaw_I_rate += err_yaw_rate*G_Dt;
    yaw_D_rate += ((err_yaw_rate - err_yaw_ant_rate)/G_Dt);
    err_yaw_ant_rate = err_yaw_rate;
    u4_yaw = (Kp*err_yaw_rate)+ (Ki*yaw_I_rate) + (Kd*yaw_D_rate);

    throttle = pulseIn(THROTTLEPIN, HIGH, THROTTLETIMEOUT);
    CH_THR = map(throttle, 1050, 1950, MINTHROTTLE, MAXTHROTTLE);
    uAlitude = uAlitude + ((CH_THR - uAlitude)*K);
}

void Accel_init()
{
    Wire.beginTransmission(ADXL345_Address);
    Wire.write(0x38);
    Wire.write(0x00);
    Wire.endTransmission();
    delay(5);
    Wire.beginTransmission(ADXL345_Address);
    Wire.write(0x31);
    Wire.write(0x0B);
}

```

เอกสารนี้เป็นเอกสารที่สงวนไว้สำหรับการใช้งานเพื่อการศึกษาเท่านั้น ไม่อนุญาตให้นำไปใช้ประโยชน์ด้านการค้า
ไม่ว่ากรณีใด

ต้องอ้างอิงถึงเจ้าของเอกสารทุกครั้งที่มีการนำไปใช้

```

Wire.endTransmission();
delay(5);
Wire.beginTransmission(ADXL345_Address);
Wire.write(0x2D);
Wire.write(0x00);
Wire.endTransmission();
delay(5);
Wire.beginTransmission(ADXL345_Address);
Wire.write(0x1E);
Wire.write(0x7E);
Wire.endTransmission();
delay(5);
Wire.beginTransmission(ADXL345_Address);
Wire.write(0x1F);
Wire.write(0x7E);
Wire.endTransmission();
delay(5);
Wire.beginTransmission(ADXL345_Address);
Wire.write(0x20);
Wire.write(0x7E);
Wire.endTransmission();
delay(5);
}
void Gyro_init()
{
Wire.beginTransmission(ITG3205_Address);
Wire.write(0x3E);
Wire.write(0x80);
Wire.endTransmission();
delay(5);
Wire.beginTransmission(ITG3205_Address);
Wire.write(0x16);
Wire.write(0x1A);
Wire.endTransmission();
delay(5);
Wire.beginTransmission(ITG3205_Address);
Wire.write(0x15);
Wire.write(0x09);
Wire.endTransmission();
delay(5);
Wire.beginTransmission(ITG3205_Address);
Wire.write(0x3E);
Wire.write(0x01);

```

เอกสารนี้เป็นเอกสารที่สงวนไว้สำหรับการใช้งานเพื่อการศึกษาเท่านั้น ไม่อนุญาตให้นำไปใช้ประโยชน์ด้านการค้า
ไม่ว่ากรณีใดก็ตาม ต้องอ้างอิงถึงเจ้าของเอกสารทุกครั้งที่มีการนำไปใช้

```

Wire.endTransmission();
delay(5);
Wire.beginTransmission(ITG3205_Address);
Wire.write(0x3E);
Wire.write(0x02);
Wire.endTransmission();
delay(5);
Wire.beginTransmission(ITG3205_Address);
Wire.write(0x3E);
Wire.write(0x03);
Wire.endTransmission();
delay(5);
}
void accX()
{
Wire.beginTransmission(ADXL345_Address);
Wire.write(0x32);
Wire.endTransmission();
Wire.requestFrom(ADXL345_Address, 2);
int i = 0;
byte result[2];
while(Wire.available())
{
result[i] = Wire.read();
i++;
}
Wire.endTransmission();
AccX = (result[0] | (result[1] << 8))*9.81;
}
void accY()
{
Wire.beginTransmission(ADXL345_Address);
Wire.write(0x34);
Wire.endTransmission();
Wire.requestFrom(ADXL345_Address, 2);
int i = 0;
byte result[2];
while(Wire.available())
{
result[i] = Wire.read();
i++;
}
Wire.endTransmission();
}

```

เอกสารนี้เป็นเอกสารที่จัดทำขึ้นไว้เพื่อให้บริการใช้งานเพื่อการศึกษาเท่านั้น ไม่อนุญาตให้นำไปใช้ประโยชน์ด้านการค้า
ไม่ว่ากรณีใด ๆ ทั้งสิ้น อีกทั้งห้ามมิให้คัดแปลงเนื้อหา และต้องอ้างอิงถึงเจ้าของเอกสารทุกครั้งที่มีการนำไปใช้

```

    AccY = (result[0] | (result[1] << 8))*-9.81;
}
void accZ()
{
    Wire.beginTransmission(ADXL345_Address);
    Wire.write(0x36);
    Wire.endTransmission();
    Wire.requestFrom(ADXL345_Address, 2);
    int i = 0;
    byte result[2];
    while(Wire.available())
    {
        result[i] = Wire.read();
        i++;
    }
    Wire.endTransmission();
    AccZ = (result[0] | (result[1] << 8))*9.81;
}
void gyroX()
{
    Wire.beginTransmission(ITG3205_Address);
    Wire.write(0x1D);
    Wire.endTransmission();
    Wire.requestFrom(ITG3205_Address, 2);
    int i = 0;
    byte buffer[2];
    while(Wire.available())
    {
        buffer[i] = Wire.read();
        i++;
    }
    Wire.endTransmission();
    GyroX = (((buffer[0] << 8) | buffer[1])*-1/14.375)/RAD_TO_DEG;
}
void gyroY()
{
    Wire.beginTransmission(ITG3205_Address);
    Wire.write(0x1F);
    Wire.endTransmission();
    Wire.requestFrom(ITG3205_Address, 2);
    int i = 0;
    byte buffer[2];
    while(Wire.available())

```

เอกสารนี้เป็นเอกสารที่สงวนลิขสิทธิ์ไว้เพื่อการศึกษาเท่านั้น ไม่อนุญาตให้นำไปใช้ประโยชน์ด้านการค้า
ไม่ว่ากรณีใด ๆ ทั้งสิ้น หากมีให้ตัดแปลงเนื้อหา และต้องอ้างอิงถึงเจ้าของเอกสารทุกครั้งที่มีการนำไปใช้

```

{
    buffer[i] = Wire.read();
    i++;
}
Wire.endTransmission();
GyroY = (((buffer[0] << 8) | buffer[1])*-1/14.375)/RAD_TO_DEG;
}
void gyroZ()
{
    Wire.beginTransmission(ITG3205_Address);
    Wire.write(0x21);
    Wire.endTransmission();
    Wire.requestFrom(ITG3205_Address, 2);
    int i = 0;
    byte buffer[2];
    while(Wire.available())
    {
        buffer[i] = Wire.read();
        i++;
    }
    Wire.endTransmission();
    GyroZ = (((buffer[0] << 8) | buffer[1])*-1/14.375)/RAD_TO_DEG;
}
void gyroTemp()
{
    Wire.beginTransmission(ITG3205_Address);
    Wire.write(0x1B);
    Wire.endTransmission();
    Wire.requestFrom(ITG3205_Address, 2);
    int i = 0;
    byte buffer[2];
    while(Wire.available())
    {
        buffer[i] = Wire.read();
        i++;
    }
    Wire.endTransmission();
    GyroTemp = (((buffer[0] << 8) | buffer[1])+13200)/280.0 + 35.0;
}
void Accel_Read()
{
    accX();
    accY();
}

```

เอกสารนี้เป็นทรัพย์สินทางปัญญาที่จัดทำขึ้นเพื่อการใช้งานเพื่อการศึกษาเท่านั้น ไม่อนุญาตให้นำไปใช้ประโยชน์ด้านการค้า

ไม่ว่ากรณีใดๆทั้งสิ้น อีกทั้งห้ามมิให้ตัดแปลงเนื้อหา และต้องอ้างอิงถึงเจ้าของเอกสารทุกครั้งที่มีการนำไปใช้

```

    accZ();
}
void Gyro_Read()
{
    gyroX();
    gyroY();
    gyroZ();
    gyroTemp();
}
void sensor_Read()
{
    Accel_Read();
    Gyro_Read();
    gyroXtrim += GyroX;
    gyroYtrim += GyroY;
    gyroZtrim += GyroZ;
    xtrim += AccX;
    ytrim += AccY;
    ztrim += AccZ;
    sensorsample ++;
}
void sensor_Get()
{
    GyroX = (gyroXtrim/sensorsample) - gyro_offsetX;
    GyroY = (gyroYtrim/sensorsample) - gyro_offsetY;
    GyroZ = (gyroZtrim/sensorsample) - gyro_offsetZ;

    AccX = (xtrim/sensorsample) - acc_offsetX;
    AccY = (ytrim/sensorsample) - acc_offsetY;
    AccZ = (ztrim/sensorsample) - acc_offsetZ;

    gyroXtrim = 0;
    gyroYtrim = 0;
    gyroZtrim = 0;
    xtrim = 0;
    ytrim = 0;
    ztrim = 0;
    sensorsample = 0;
}
void sensor_Calibrate()
{
    for(uint8_t i=0;i<20;i++)
    {

```

เอกสารนี้เป็นทรัพย์สินทางปัญญาของมหาวิทยาลัยเทคโนโลยีพระจอมเกล้าเจ้าคุณทหารลาดกระบัง

ไม่ว่ากรณีใดๆทั้งสิ้น อีกทั้งห้ามมิให้คัดแปลงเนื้อหา และต้องอ้างอิงถึงเจ้าของเอกสารทุกครั้งที่มีการนำไปใช้

```

    {

```

```

    sensor_Read();
    delay(10);
}
gyro_offsetX = gyroXtrim/sensorsample;
gyro_offsetY = gyroYtrim/sensorsample;
gyro_offsetZ = gyroZtrim/sensorsample;
acc_offsetX = xtrim/sensorsample;
acc_offsetY = ytrim/sensorsample;
acc_offsetZ = ztrim/sensorsample;
sensorsample = 0;

acc_offsetX = 0.49;
acc_offsetY = 0.10;
acc_offsetZ = -0.39;
}
void configureReceiver()
{
    PORTC |= ((1<<PORTC4) | (1<<PORTC5));
    TWBR = ((F_CPU/400000L)-16)/2;

    TWDR = 0xFF;
    TWCR = (1<<TWEN)|(0<<TWIE)|(0<<TWINT)|(0<<TWEA)|(0<<TWSTA)|(0<<TWSTO)|(0<<TWWC);
}
void ahrs_initialize()
{
    exInt = 0;
    eyInt = 0;
    ezInt = 0;
    q0 = 1;
    q1 = 0;
    q2 = 0;
    q3 = 0;
}
void ahrs_update(double gx, double gy, double gz, double ax, double ay, double az, double
G_Dt)
{
    double norm;
    double vx, vy, vz;
    double ex, ey, ez;
    norm = sqrt(ax*ax + ay*ay + az*az);
    ax = ax/norm;
    ay = ay/norm;

```

เอกสารนี้เป็นเอกสารที่สงวนไว้สำหรับการใช้งานเพื่อการศึกษาเท่านั้น ไม่อนุญาตให้นำไปใช้ประโยชน์ด้านการค้า
ไม่ว่ากรณีใด ๆ ทั้งสิ้น หากมีข้อสงสัยหรือต้องการข้อมูลเพิ่มเติม กรุณาติดต่อผู้จัดทำเอกสาร และต้องอ้างอิงถึงเจ้าของเอกสารทุกครั้งที่มีการนำไปใช้

$$az = az/norm;$$

$$vx = 2*(q1*q3 - q0*q2);$$

$$vy = 2*(q0*q1 + q2*q3);$$

$$vz = q0*q0 - q1*q1 - q2*q2 + q3*q3;$$

$$ex = (ay*vz - az*vy);$$

$$ey = (az*vx - ax*vz);$$

$$ez = (ax*vy - ay*vx);$$

$$gx += Kp*ex + exInt;$$

$$gy += Kp*ey + eyInt;$$

$$gz += Kp*ez + ezInt;$$

$$q0 = q0 + (-q1*gx - q2*gy - q3*gz)*G_Dt/2;$$

$$q1 = q1 + (q0*gx + q2*gz - q3*gy)*G_Dt/2;$$

$$q2 = q2 + (q0*gy - q1*gz + q3*gx)*G_Dt/2;$$

$$q3 = q3 + (q0*gz + q1*gy - q2*gx)*G_Dt/2;$$

$$norm = \text{sqrt}(q0*q0 + q1*q1 + q2*q2 + q3*q3);$$

$$q0 = q0/norm;$$

$$q1 = q1/norm;$$

$$q2 = q2/norm;$$

$$q3 = q3/norm;$$

$$DCM00 = 2*(0.5 - q2*q2 - q3*q3);$$

$$DCM01 = 2*(q1*q2 - q0*q3);$$

$$DCM02 = 2*(q1*q3 + q0*q2);$$

$$DCM10 = 2*(q1*q2 + q0*q3);$$

$$DCM11 = 2*(0.5 - q1*q1 - q3*q3);$$

$$DCM12 = 2*(q2*q3 - q0*q1);$$

$$DCM20 = 2*(q1*q3 - q0*q2);$$

$$DCM21 = 2*(q2*q3 + q0*q1);$$

$$DCM22 = 2*(0.5 - q1*q1 - q2*q2);$$

$$\text{ahrs_y} = \text{atan2}(DCM10, DCM00);$$

$$\text{ahrs_p} = -\text{asin}(DCM20);$$

$$\text{ahrs_r} = \text{atan2}(DCM21, DCM22);$$

$$\text{accrX_cutg} = (-\text{AccXf}*DCM00 - \text{AccYf}*DCM01 + \text{AccZf}*DCM02);$$

$$\text{accrY_cutg} = (-\text{AccXf}*DCM10 - \text{AccYf}*DCM11 + \text{AccZf}*DCM12);$$

$$\text{accrZ_cutg} = (-\text{AccXf}*DCM20 - \text{AccYf}*DCM21 + \text{AccZf}*DCM22) - 9.42;$$

}

เอกสารนี้เป็นเอกสารที่จัดทำขึ้นเพื่อใช้ในการศึกษาวิจัยเท่านั้น ไม่ควรนำข้อมูลไปใช้ในการตัดสินใจใดๆ โดยที่ผู้จัดทำเอกสารนี้ไม่รับผิดชอบต่อความเสียหายใดๆ ที่อาจเกิดขึ้นจากการนำเอกสารนี้ไปใช้

```

void ahrs_toEuler()
{
  ahrs_y = atan2(2*q1*q2 + 2*q0*q3, 2*q0*q0 + 2*q1*q1 - 1);
  ahrs_p = -asin(2*q1*q3 - 2*q0*q2);
  ahrs_r = atan2(2*q2*q3 + 2*q0*q1, 2*q0*q0 + 2*q3*q3 - 1);
}

```



เอกสารนี้เป็นเอกสารที่สงวนไว้สำหรับการใช้งานเพื่อการศึกษาเท่านั้น ไม่อนุญาตให้นำไปใช้ประโยชน์ด้านการค้า ไม่ว่าจะกรณีใดๆทั้งสิ้น อีกทั้งห้ามมิให้คัดแปลงเนื้อหา และต้องอ้างอิงถึงเจ้าของเอกสารทุกครั้งที่มีการนำไปใช้